

# TECHNIKA CIEPLNA

## CZASOPISMO ZWIĄZKU STOWARZYSZEŃ DOZORU KOTŁÓW W POLSCE

REDAKTOR: inż. techn. JAN KOMARNICKI.

Wydawca: Związek Stowarzyszeń Dozoru Kotłów w Polsce.

REDAKCJA I ADMINISTRACJA: WARSZAWA, PIUSA XI, 32, m. 6. TEL. 8-81-47.

GODZINY BIUROWE ADMINISTRACJI — CODZIENNIE, OD 10 DO 15.

TYTUS MARYAŃSKI, inż.

## SPRAWOZDANIE ODDZIAŁU CIEPLNEGO

ST. D. K. W KATOWICACH ZA R. 1938.

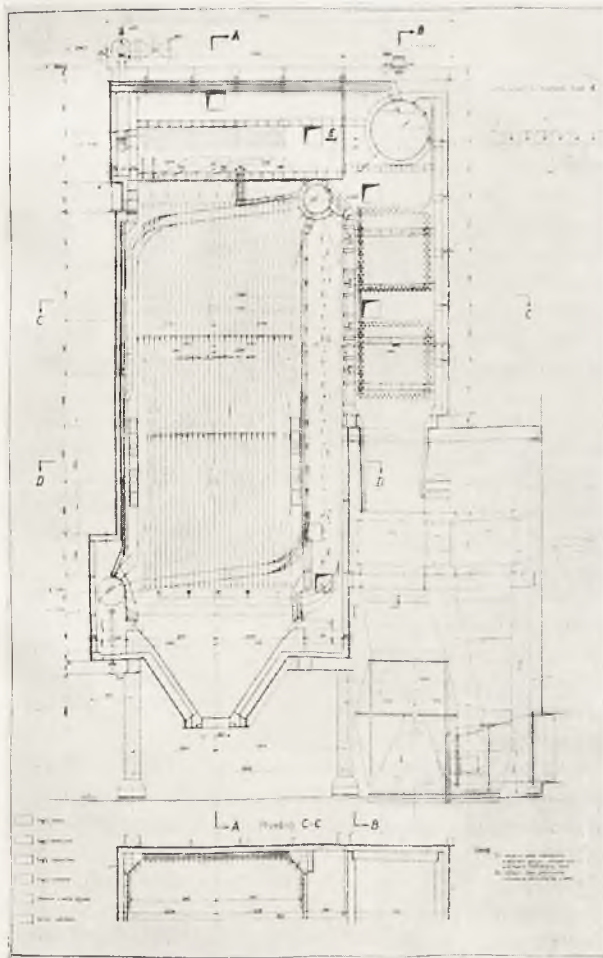
### I. Pomiary kotłowe.

1. Pomiar odbiorczy kotła opromieniowanego syst. „Lopulco” o wydajności 42 t/h.

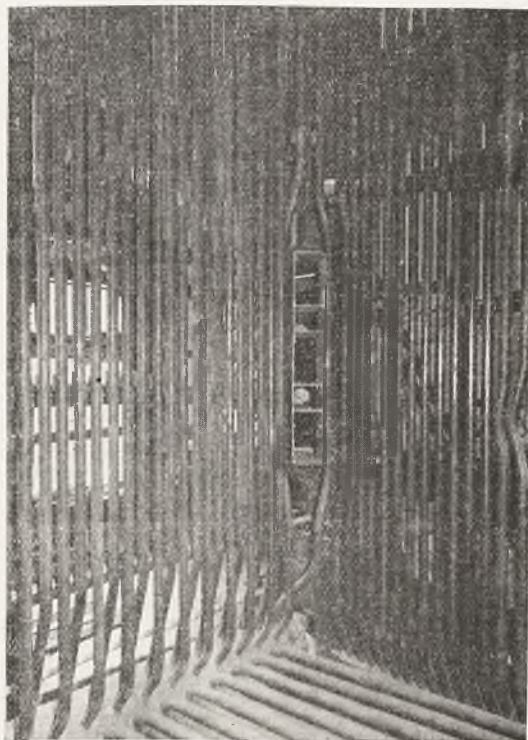
Kocioł systemu K. S. G. Lopulco posiada powierzchnię ogrzewalną kotła — 400 m<sup>2</sup>, drzegrzewacza pary — 231 m<sup>2</sup>, podgrzewacza wody — 408 m<sup>2</sup>, podgrzewacza powietrza syst. Ljungstroema — 1560 m<sup>2</sup>. Ciśnienie nominalne pary — 16 atn.

Jak wskazuje rys. 1, jest to kocioł trójwalezakowy; jeden walezak o  $\varnothing$  1294 mm i dwa o  $\varnothing$  596 mm i 5800 mm długości. Obieg wody w kotle odbywa się w następujący sposób: woda zasilająca jest doprowadzana do górnego większego walezaka, z którego przy pomocy rur opadowych, chronionych od zetknięcia z gorącymi spalinami, dopływa do dolnego walezaka i kwadratowych rur zbiorczych, umieszczonych w dolnej części komory paleniskowej. Woda z dolnego walezaka i dolnych rur zbiorczych (rys. 2) wznosi się w opłomkach i dopływa wraz z parą do górnych rur zbiorczych i górnego walezaka  $\varnothing$  596 mm.

Opłomki, stanowiące powierzchnię ogrzewalną kotła, jednocześnie chłodzą ściany komory spalania. Para z górnego małego walezaka przepływa przez szereg rur do przestrzeni



Rys. 1. Kocioł opromieniowany syst. Lopulco.



Rys. 2. Komora paleniskowa.

parowej dużego waleczaka i dalej uchodzi do przegrzewacza. Zwierciadło wody w waleczaku  $\varnothing$  1294 ma powierzchnię  $7,9 \text{ m}^2$ , oraz przestrzeń parową  $4,1 \text{ m}^3$ . Pojemność komory spalania wynosi  $160,5 \text{ m}^3$ . Cztery dwustrumieniowe palniki umieszczone są po rogach komory spalania. Jeden młyn zasila pyłem dwa palniki. Spaliny, wprowadzane w ruch wirowy w komorze spalania dzięki ustawieniu palników stycznie do założonego koła w osi komory, uchodzą ku górze, omywając górny rząd opłomek ekranowych i przegrzewacz, po czym płyną ku dołowi, przechodząc kolejno przez podgrzewacz wody i podgrzewacz powietrza; dalej zaś wentylator włacza spaliny przez czo-puch do komina. Wentylator ten napędzany jest silnikiem  $140 \text{ kW}$ ,  $n = 980 \text{ obr/min}$ . Powietrze włączane jest do obrotowego podgrzewacza syst. Ljungstroema wentylatorem, napędzanym silnikiem  $75 \text{ kW}$ ,  $n = 1470 \text{ obr/min}$ , z regulacją obrotów o 30% w dół. Obrotowy podgrzewacz napędzany jest przez przekładnię ślimakową silnikiem elektrycznym  $2,2 \text{ kW}$ . Średnica rurociągu parowego —  $300 \text{ mm}$ , zasilającego kocioł —  $150 \text{ mm}$ . Dwa młyny syst. K. S. G. o wydajności maks. po  $4500 \text{ kg/h}$  są napędzane silnikami  $105 \text{ kW}$ ,  $n = 1470 \text{ obr/min}$ .

Dostawca zagwarantował następujące liczby:

		Obciążenie		
		normalne	maks. stałe	maks. szczyt.
Wydajność	$t/h$	42	50	55
Sprawność	%	84	84,5	—
Temperatura pary przegrzanej	$^{\circ}\text{C}$	370	375	—
Ciśnienie pary za przegrzewaczem	$\text{atn}$	16	16	—
Temperatura wody zasilającej	$^{\circ}\text{C}$	—	50	—
Trwałość obmurza bez napraw	$h$	—	10 000	—

Gwarancje zostały udzielone pod warunkiem, że kocioł będzie opalany miałem o wartości opałowej  $5500 \text{ kal/kg}$ , ziarnistości  $0 - 5 \text{ mm}$ , zawartości popiołu — 11%, wody — 11%.

Poza tym dostawca zagwarantował, że zużycie energii, odniesione do mocy na wale młyn, wyniesie  $20 \text{ kWh/t}$  pyłu oraz koszt zużycia ścierających się elementów młynów, łącznie z robocizną, nie przekroczy  $30 \text{ gr/t}$  pyłu.

Pomiar gwarancyjny odbywał się w ciągu dwóch dni. W pierwszym dniu wykonany został pomiar 8-godzinny przy obciążeniu normalnym ok.  $42 \text{ t/h}$ , w drugim dniu — pomiar 6-godzinny przy obciążeniu maksymalnym ok.  $51 \text{ t/h}$  i 1-godzinny przy wydajności szczytowej.

Zestawienie wyników pomiarów:

		I	II
Pomiar			
Czas trwania pomiaru	$h$	8,167	6
Dolna wartość opałowa mialu węglowego	$\text{kal/kg}$	4918	5041
Zawartość popiołu w węgla	%	15,06	14,34
„ wody	%	15,87	15,11
Drobność pyłu:			
pozostałość na sicie Nr 30	%	4,3	6,1
„ „ „ Nr 70	%	27,9	31,4
Wilgotność pyłu	%	6,15	5,83
Ciśnienie pary w waleczaku	$\text{atn}$	15,45	16,1
„ „ za podgrzewaczem	$\text{atn}$	14,8	14,9
Temperatura pary przegrzanej	$^{\circ}\text{C}$	340	336
Temperatura wody zasilającej przed podgrzew.	$^{\circ}\text{C}$	44,95	49,1
Temperatura wody zasilającej za podgrzewaczem	$^{\circ}\text{C}$	195,8	192,8
Wydajność kotła	$t/h$	41,29	52,083
Ilość pary z 1 kg węgla	$\text{kg/kg}$	6,39	6,4
Natężenie powierzchni ogrzewalnej kotła	$\text{kg/m}^2\text{h}$	103,1	130,5
Natężenie powierzchni ogrzewalnej kotła	$\text{kal/m}^2\text{h}$	48100	61000
Natężenie pow. ogrzewalnej przegrzew. pary	„	14800	18150
Natężenie pow. ogrzewalnej podgrzew. wody	„	15250	18350
Natężenie pow. ogrzewalnej podgrzew. powietrza	„	1830	3130
Natężenie pow. wyparowania	$\text{m}^3/\text{m}^2\text{h}$	646	785
Natężenie przestrzeni parowej	$\text{m}^3/\text{m}^2\text{h}$	1250	1515
Rozchód mialu węglowego	$t/h$	6469	8143
Natężenie komory paleniskowej	$\text{kal/m}^3\text{h}$	198500	255000
Zawartość $\text{CO}_2$ przed podgrzew. wody	%	15,8	14,4
Zawartość $\text{O}_2$ przed podgrzew. wody	%	3,0	5,1
Zawartość $\text{CO}$ przed podgrzew. wody	%	0,0	0,0
Zawartość $\text{CO}_2$ za podgrzew. wody	%	15,0	14,1
Zawartość $\text{O}_2$ za podgrzew. wody	%	4,6	5,4
Zawartość $\text{CO}_2$ za podgrzew. powietrza	%	13,0	12,4
Zawartość $\text{O}_2$ za podgrzew. powietrza	%	6,8	7,2
Nadmiar powietrza przed podgrzew. wody		1 161	1,330
Nadmiar powietrza za podgrzew. powietrza		1,470	1,508
Temperatura w palenisku ok. $2,5 \text{ m}$ nad palnikami	$^{\circ}\text{C}$	1120	1127
Temperatura przed przegrzewaczem (obliczona)	$^{\circ}\text{C}$	902	933
Temperatura za przegrzewaczem	$^{\circ}\text{C}$	658	764
Temperatura przed podgrzewaczem wody	$^{\circ}\text{C}$	624	723
Temperatura za podgrzewaczem wody	$^{\circ}\text{C}$	321	391



Temperatura za podgrzewaczem powietrza	$^{\circ}\text{C}$	156	191
Ilość spalin przed podgrzew. powietrza	$\text{Nm}^3/\text{kg}$	6,62	7,25
Ilość spalin za podgrzew. powietrza	$\text{Nm}^3/\text{kg}$	7,65	8,25
Dopływ powietrza przez nieszczelności	$\text{Nm}^3/\text{kg}$	1,03	1,0
Temperatura powietrza przed wentylatorem	$^{\circ}\text{C}$	27,5	26,6
Temperatura powietrza za podgrzewaczem	$^{\circ}\text{C}$	252,7	287,0
Ilość powietrza uczestniczącego w spalaniu	$\text{Nm}^3/\text{kg}$	6,27	7,38
Wydajność wentylatora	$\text{Nm}^3/\text{h}$	47000	68300
Nadciśnienie powietrza za wentylatorem	$\text{mm sł.w.}$	183,4	137,5
Nadciśnienie powietrza za podgrzew. pow.	"	160,3	94,0
Depresja na wysokości palników	"	3,6	3,45
Depresja za przegrzewaczem	"	0,82	4,2
Depresja przed podgrzewaczem wody	"	5,6	11,8
Depresja za podgrzewaczem powietrza	"	54,5	97,8
Strata ciągu w podgrzewaczu powietrza	"	23,1	43,1
Ciepło wykorzystane w kotle	ok. %	60,55	60,16
Ciepło wykorzystane w przegrzewaczu pary	%	10,75	9,70
Ciepło wykorzystane w podgrzewaczu wody	ok. %	19,60	18,24
Ciepło nadane w podgrzewaczu powietrza	%	8,96	11,89
Różnica mocy do napędu silnika i młyna	$\text{kW}$	64,4	93,3
Różnica energii elektr. na wale młyna na 1 t pyłu	$\text{kWh/t}$	18,9	22,5
Popiół uniesiony z paleniska w % całej zawartości w węglu	%	90,2	90,4

Jak widać z poniższego bilansu sprawności kotła są wyższe od gwarantowanych.

Temperatury w komorze paleniskowej są dość niskie, co usuwa obawy nietrwałości obmurza. Przebieg procesu spalania jest b. dobry: uzyskano 16,5%  $CO_2$  w spalinach za kotłem, a nie stwierdzono obecności  $CO$ . Temperatura pary przegrzanej jest niższa od gwarantowanej.

Bilans cieplny 1 kg paliwa:

		I	II
Ciepło doprowadzone w węglu	%	100	100
Ciepło spożytkowane w kotle	%	90,90	88,10
Strata kominowa za ekshaustorem	%	7,15	9 57
Strata niezupełnego spalania	%	0,00	0,00
Strata w lotnym popiele	%	0.53	0 62
Strata promieniowania (mierzona aparatem Schmidt'a)	%	0.50	0,50
Reszta i niedokładność pomiaru	%	0,92	1,21

Podgrzewacz powietrza nie jest całkowicie szczelny, co jest charakterystyczne dla podgrzewaczy syst. Ljungstroema. Wpływ tej nieszczelności (wynoszącej ok.  $1 \text{ Nm}^3/\text{kg}$  węgla) na sprawność kotła jest nieznaczny.

Przy wydajności kotła ok. 50 t/h zachodzi nadmierne nagrzewanie się rur, doprowadzających spaliny do suszenia węgla w młynach, co dla stałego ruchu należy uważać za zjawisko nienormalne; można je przypisać zbyt wysokiej wilgotności spalanego węgla, wybiegającej ponad liczbę, przyjętą za podstawę gwarancji; tej samej wilgotności należy przypisać zatykanie się przewodów, doprowadzających pył do palników i związaną z tym konieczność doprowadzania do tych przewodów sprężonego powietrza przy większych obciążeniach. Straty promieniowania zostały określone za pomocą aparatu Schmidt'a, wykazującego stratę w  $\text{kcal/m}^2\text{h}$ ; pomiary wykazały, że strata promieniowania w badanym kotle wynosi 0,5%. Pomiary strat promieniowania wykonane na kotle skośnorurkowym komorowym o powierzchni ogrzewalnej kotła  $350 \text{ m}^2$ , ciśnieniu 10,5 *atn* wykazały 1,0%.

W wyniku próby wydajności szczytowej osiągnięto wydajność 60 t/h. Wykonano też pomiar temperatur poszczególnych węzłowiec przegrzewacza za pomocą przypawanych do rur termopar. Z pomiaru tego wynika, że temperatury z prawej strony przegrzewacza są przy obciążeniu 42 t/h o ok. 60° wyższe niż z lewej strony, a przy obciążeniu 51 t/h są wyższe o ok. 80°; wskazuje to na niejednakowy rozpył spalin w poprzek przegrzewacza.

W czasie próby kocioł był zasilany kondensatem z turbin, wskutek czego zawartość soli w wodzie kotłowej wynosiła zaledwie 200 *mg/l* (t. j. około 0,02° Bé) przy liczbie alkaliczności ok. 15 *mg/l*. Przy tej jakości wody i obciążeniu kotła ok. 60 *t/h* pobrano próbkę kondensatu z pary nasyconej z jednej z rur przegrzewacza; po zbadaniu w laboratorium stwierdzono, że kondensat z pary zawiera sole w ilości 2 *mg/l*. Sposób pobierania próbki kondensatu z pary nasyconej został opisany w naszym sprawozdaniu z roku 1937.

2. Pomiar odbiorczy kotła  
syst. Babcock z poprzecznym  
walczakiem.

Kocioł o powierzchni ogrzewalnej  $750 \text{ m}^2$ , z przegrzewaczem pary  $275 \text{ m}^2$ , podgrzewaczem wody  $583,5 \text{ m}^2$ . Nominalna prężność pary  $15 \text{ atn}$ , temperatura —  $375^\circ \text{ C}$ . Wewnętrzna średnica walczaka  $1500 \text{ mm}$ , długość ok.  $8460 \text{ mm}$ , powierzchnia odparowania  $12,6 \text{ m}^2$ . Nad walczakiem umieszczony jest zbiornik parowy o średnicy  $800 \text{ mm}$ . Pojemność komory paleniskowej  $80 \text{ m}^3$ . Spaliny z kotła przechodzą przez podgrzewacz dwudzielny, umieszczony po obu stronach kanału, łączącego kocioł z wentylatorami. Kocioł pracuje na sztuczny ciąg, wytwarzany przez dwa wentylatory z regulacją obrotów. Kocioł posiada podwójny ruszt posuwny łań-

cuchowy o łącznej powierzchni  $30 \text{ m}^2$ . Powietrze wtórne jest wdmuchiwane ponad rusztami.

Dostawca zagwarantował, że przy normalnym obciążeniu  $32 \text{ kg/m}^2 \cdot \text{h} = 24 \text{ t/h}$  kocioł, dając parę o ciśnieniu  $15 \text{ atn}$  i temp.  $360^\circ \text{ C}$ , będzie posiadał całkowitą sprawność, łącznie z przegrzewaczem i ekonomizyzerem, równą 78%. Poza tym zaś zagwarantował możliwość trwałego przeciążenia do  $38 \text{ kg/m}^2 \cdot \text{h}$ , tj.  $28,5 \text{ t/h}$ .

Pomiar gwarancyjny trwał 6 godzin.

Zestawienie wyników pomiaru:

Dolna wartość opałowa węgla	$\text{kal/kg}$	5782
Wilgotność całkowita węgla	$\%$	13,19
Zawartość popiołu w węglu	$\%$	9,54
Ciśnienie pary w kotle	$\text{atn}$	14,60
„ „ za przegrzewaczem	$\text{atn}$	14,10
Temperatura pary za przegrzewaczem	$^\circ \text{C}$	398
Temperatura wody zasilającej	$^\circ \text{C}$	58,1
Odparowanie kotła	$\text{t/h}$	25,93
Natężenie powierzchni ogrzewalnej	$\text{kg/m}^2 \cdot \text{h}$	34,55
Rozchód węgla	$\text{kg/h}$	4141
Natężenie powierzchni rusztu	$\text{kg/m}^2 \cdot \text{h}$	138
„ komory paleniskowej	$\text{kal/m}^2 \cdot \text{h}$	299500
Nadmiar powietrza wg analizy spalin		1,925
za ekshaustorem		
Skład spalin za ekshaustorem:	$\text{CO}_2 \%$	9,6
	$\text{O}_2 \%$	10,1
	$\text{CO} \%$	0,15
Temperatura spalin nad rurkami	$^\circ \text{C}$	451
Temperatura spalin przed podgrzewaczem	$^\circ \text{C}$	337
Temperatura spalin za podgrzewaczem	$^\circ \text{C}$	199
Temperatura atmosfery kotłowni	$^\circ \text{C}$	34,2
Depresja nad rusztami	$\text{mmH}_2\text{O}$	7,5
„ przed podgrzewaczem	$\text{mmH}_2\text{O}$	13,8
„ za podgrzewaczem	$\text{mmH}_2\text{O}$	18,8
Popiół uniesiony z paleniska w $\%$ całej zawartości w węglu	$\%$	13,75

#### Bilans cieplny 1 kg węgla:

Ciepło doprowadzone w węglu	$5782 \text{ kal/kg}$	$\%$	100
Ciepło wykorzystane w kotle (sprawność)		$\%$	77,60
Strata kominowa za ekshaustorem		$\%$	12,27
„ niezupełnego spalania		$\%$	0,94
„ w przesypie		$\%$	2,57
„ w żużlu		$\%$	0,10
„ w popiele lotnym		$\%$	1,05
Reszta		$\%$	5,47

## 2. Pomiar odbiorczy turbogenerators 5000 kW.

### Opis zespołu.

Turbozespół składa się z dwukadłubowej turbiny kondensacyjnej upustowej oraz z generatora prądu trójfazowego. Moc nominalna 5000 kW.

Turbina wykonana jest dla pary  $38 \text{ atn}$  i  $400^\circ \text{ C}$ , dorywczo  $45 \text{ atn}$  i  $425^\circ \text{ C}$ .

W irnik pierwszego kadłuba (część wysokoprężna) o promieniowo - osiowym przepływie pary składa się: z 27 rzędów łopatek. W drugim kadłubie wirnik składa się z 1 koła regulacyjnego (część średnioprężna) i 27 kół reakcyjnych (część niskoprężna).

Upust pary I o ciśnieniu  $11 \text{ ata}$  znajduje się za pierwszym kadłubem, upust II o ciśnieniu  $4,5 \text{ ata}$  — za kołem regulacyjnym w drugim kadłubie. Upust I może być nastawiany od 0 do  $15 \text{ t/h}$ , upust II od 0 do  $30 \text{ t/h}$ . System regulacji składa się z regulatora obrotów oraz serwowatorów nastawiających zawory regulacyjne części wysoko-, średnio- i niskoprężnej. Dwa regulatory ciśnienia (Panta) dają impuls na drążki regulacyjne ze zmianą ciśnienia pary upustowej. Ciśnienia pary upustowej mogą być w małych granicach nastawiane.

Bezpiecznik zamyka zawór odcinający przy wzroście liczby obrotów o 10% ponad normalną. Przy turbinie znajduje się urządzenie dla przestawiania ilości obrotów podczas ruchu o  $\pm 5\%$  zarówno odrębnie jak i elektrycznie od tablicy.

Turbina sprzężona jest z generatorem o mocy 6000 kVA, 525 V, 6600 A,  $\cos \varphi = 0,83$ , 3000 obr/min, 50 okr/sek.

Skrapłacz przeciwprądowy posiada powierzchnię chłodzenia  $300 \text{ m}^2$ . Ilość wody obiegujowej wynosi ok.  $700 \text{ m}^3/\text{h}$ , co wystarcza dla normalnie  $10 \text{ t/h}$  i maksymalnie  $22 \text{ t/h}$  pary.

Zespół pomp kondensacyjnych umieszczonych na wspólnym wale stanowi:

1. Odśrodkowa pompa wody chłodzącej o wydajności  $Q = 13335 \text{ l/min}$ , manom. wysok. podnoszenia  $H_m = 25 \text{ m}$ ,  $n = 1460 \text{ obr/min}$ , moc potrzebna 100 KM.

2. Odśrodkowa pompa skroplin o wydajności  $Q = 36 \text{ l/min}$ ,  $H_m = 20 \text{ m}$ ,  $n = 1460 \text{ obr/min}$ , 3,5 KM.

3. Odśrodkowa pompa próżniowa dla ilości wody  $Q = 2500 \text{ l/min}$ ,  $H_m = 30 \text{ m}$ , 1460 obr/min, 25 KM.

Silnik pomp kondensacyjnych 110 kW.

Dostawca zagwarantował:

dla stanu pary  $38 \text{ atn}$  i  $400^\circ \text{ C}$ , temper. dzącej  $700 \text{ m}^3/\text{h}$ , rozchód pary w turbinie następujący:

Obciążenie na zaciskach generatora	Upust pary t/h		Zużycie pary $\text{kg/kWh}$
	11 ata	4,5 ata	
5000 kW	15	30	9,85
4500 „	8,5	20	8,25
2500 „	8,5	20	12,05
2000 „	8,5	10	11 50

przy  $\cos \varphi = 0,83$ .

Poza tym dostawca zagwarantował, że turbina będzie w stanie oddawać wyżej podaną maksymalną ilość pary począwszy od ok. 75% mocy nominalnej. Prócz tego turbina będzie mogła oddać 75% swej nominalnej mocy w ruchu kondensacyjnym.

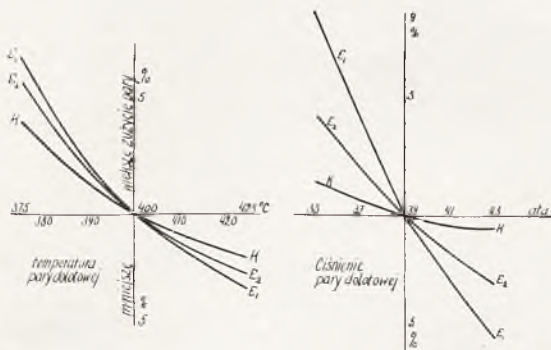
Najwyższa sprawność turbiny jest przy mocy 4500 kW przy równoczesnym upuszczeniu I —  $8,5 \text{ t/h}$  i II —  $20 \text{ t/h}$ .

Gwarancje zużycia pary odnoszą się do mocy oddawanej na zaciskach generatora łącznie z energią dla wzbudnicy, bez energii dla napędu pomp kondensacyjnych.



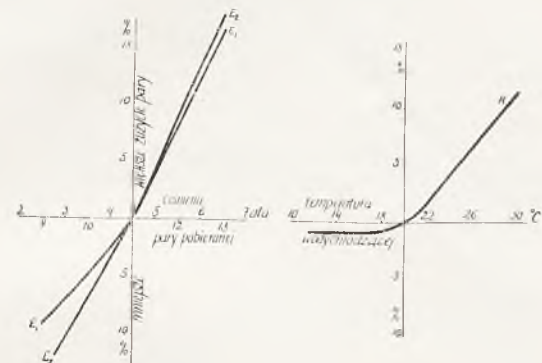
Dla przeliczenia wyników pomiaru na warunki gwarancyjne, dostawca podał krzywe poprawek widoczne na rys. 3 i 4.

Dla obliczenia rozchodu pary przy obciążeniach różniących się od gwarancji dostawca



Rys. 3. Krzywe poprawek na gwarantowane ilości pary upustowej  $E_1$  i  $E_2$ , oraz ilość kondensatu  $K$  w zależności od stanu pary dołotowej.

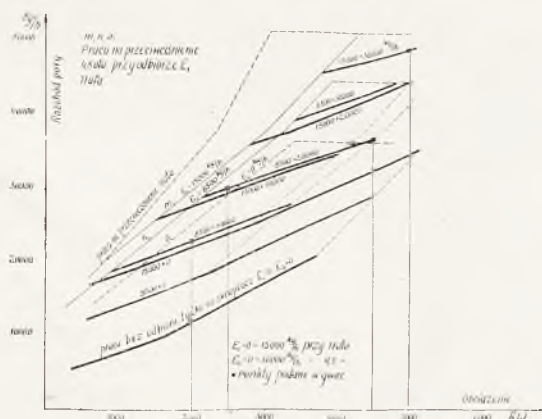
podał wykres rys. 5. Gwarantowane zużycie jednostkowe pary podano bez tolerancji, należy tylko uwzględnić tolerancję pomiarową wg. norm VDI.



Rys. 4. Krzywe poprawek na gwarantowane ilości pary upustowej  $E_1$  i  $E_2$ , oraz ilości kondensatu  $K$  w zależności od stanu pary upustowej i temperatury wody chłodzącej.

### Opis pomiaru ilości pary.

Całkowity rozchód pary w turbinie mierzono za pomocą kryzy zabudowanej przed turbiną oraz samopiszącego manometru różni-



Rys. 5. Krzywe gwarancyjne rozchodu pary w zależności od obciążenia  $N$  i wielkości upustów  $E_1$  i  $E_2$ , przy stanie pary dołotowej 38 ata i 400°C, oraz temperaturze wody chłodzącej 20°C.

cowego; podobnie mierzono ilości pary upustowej z turbiny; skropliny w kondensatorze mierzono za pomocą dwóch zbiorników ustawionych na pomostowych wagach. Odwodnienia rurociągów były w czasie pomiaru zamknięte. Jednostkowy rozchód pary w turbinie w kg/kWh obliczono ze wskazań aparatu samopiszącego przed turbiną. Błąd jaki powstał w bilansie pomiaru ilości pary został podzielony proporcjonalnie do ilości przepływu pomiędzy upusty pary.

Zestawienie wyników pomiaru:

		II	IV
Obciążenie na zaciskach generatora	kW	2529,6	5045
Natężenie prądu	A	3460,5	6176
Napięcie	V	524,8	519,1
Cos $\varphi$		0,80	0,90
Częstotliwość prądu	okr/sek	50,1	50,2
Rozchód pary całkowity	t/h	30,5	47,60
Upust I	t/h	6,18	11,78
„ II	t/h	20,72	26,00
Ilość skroplin	t/h	3,60	9,82
Temperatura pary przed zaworem głównym	°C	400,2	395,4
Ciśnienie pary przed zaworem głównym	ata	37,62	36,71
Próżnia w skraplaczu	%	96,2	95,2
Ciśnienie pary w króćcu wylotowym	ata	0,0393	0,0495
Temperatura pary w króćcu wylotowym	°C	31,33	30,86
Temperatura skroplin	°C	18,46	29,61
Temperatura wody chłodzącej — wlot	°C	14,34	14,06
Temperatura wody chłodzącej — wylot	°C	18,74	24,13
Ciśnienie cząstkowe pary w skraplaczu	ata	—	0,0453
Ciśnienie cząstkowe powietrza w skraplaczu	ata	—	0,0042

Zestawienie obliczeń po uwzględnieniu poprawek:

Upust I	t/h	5,79	10,67
„ II	t/h	20,40	27,38
Ilość skroplin	t/h	3,62	9,78
Razem rozchód pary przeliczony	t/h	29,81	47,83
Jednostkowy rozchód pary przeliczony	t/kWh	11,80	9,48
Całkowity rozchód pary w/g wykresu gwarancyjnego	t/h	28,70	46,40
Jednostkowy rozchód pary gwarantowany	kg/kWh	11,35	9,21
Przekroczenie gwarancji	%	3,96	2,93
Średnie przekroczenie gwarancji dla wszystkich punktów pomiarowych	%	3,42	

### Tolerancje pomiarowe.

1. Pomiar kryzą w rurociągu głównym. Tolerancja dla współczynnika przepływu  $\alpha$ :

tolerancja główna  $\pm 0,6\%$ ,

tolerancja na chropow. rury  $\pm 0,6\%$ ; stąd tolerancja całkowita dla współczynnika przepływu  $\alpha$ :

$$\sqrt{(0,6)^2 + (0,6)^2} = \sqrt{0,72}:$$

Tolerancja na współcz. rozprężania  $\varepsilon = 0,0\%$

Tolerancja na spiętrzenie  $Vh$ :  $\pm 1,0\%$ .

Tolerancja na  $V\gamma_1$ :  $\pm 0,6\%$ ; stąd całkowita tolerancja pomiaru kryżu:

$$\sqrt{0,72 + 1,0 + 0,36} = \sqrt{2,08} = \pm 1,44\%$$

Błąd dodatkowy na zbyt wielkie wahania ilości poszczególnych przepływów oraz poszczególnych stanów pary:

$$\pm 1,0\% \text{ (oszacowano).}$$

II. Pomiar mocy:

Błąd graniczny układu pomiaru mocy:  $\pm 1,0\%$  (oszacowano)

Całkowity błąd pomiaru:

$$\sqrt{(1,44)^2 + 1,0 + 1,0} = \pm 2,75\%$$

Gwarantowany rozchód pary został przekroczony średnio o  $3,42\%$ , zatem efektywne przekroczenie gwarancji wynosi:  $3,42 - 2,75 = 0,67\%$ .

### 3. Pomiar odbiorczy turbozespołu wodnego.

Turbozespół składa się z turbiny wodnej oraz generatora na prąd trójfazowy. Turbina wodna syst. Francis'a. Max. moc na wale turbiny  $N = 17,6 \text{ kW}$ , przy spadku użytecznym  $H_u = 6,75 \text{ m}$  i max ilości przepływu  $Q_u = 312 \text{ l/sec}$  oraz  $n = 360 \text{ obr/min}$ .

Turbina posiada regulator obrotów z serwowmotorem olejowym, napędzany przy pomocy pasa, który reguluje dopływ wody przez zmianę położenia łopatek regulacyjnych. Woda z kanału dopływa do zbiornika, po czym rurociągiem średn.  $600 \text{ mm}$  jest doprowadzana do turbiny. Rurociąg odpływowy z turbiny jest zaopatrzony w dyfuzor. Turbina napędza przez przekładnię pasową generator prądu trójfazowego  $16 \text{ kVA}$ ,  $400/231 \text{ V}$ ,  $n = 1500 \text{ obr/min}$ .

Dostawca zagwarantował następujące liczby:

		I	II	III
Spadek użyteczny	$H_u \text{ m}$	6,75	6,75	6,75
Ilość obrotów turbiny	$n \text{ obr/min}$	360	360	360
Otwarcie kierownicy	%	100	75	50
Ilość wody	$Q_u \text{ l/sec}$	312	234	156
Moc użyteczna na wale turbiny	$N_u \text{ kW}$	17,6	13,6	8,45

Ilość wody przepływającej przez turbinę mierzono rurką Pitot'a w korycie, zabudowanym w kanale dopływowym, utrzymując poziom wody w zbiorniku nieco poniżej przelewii.

$$Q = w \cdot F; \quad w = \sqrt{\frac{2gh}{\gamma}} = 0,14 \sqrt{Vh}$$

Ciśnienia dynamiczne w rurce Pitot'a mierzono manometrem różnicowym z odwróconą U-rurką, wypełnioną wodą.

Ciśnienie przed turbiną  $H_1$  i ciśnienie za turbiną  $H_2$  mierzono przy pomocy manometrów rtęciowych.

Spadek użyteczny  $H_u = H' + H_1$ .

$H' = \text{ok. } 4,1 \text{ m}$  — odległość między manometrem po stronie dolotowej i dolnym zwierciadłem wody,

$H_1$  — wskazania manometru po stronie dolotowej.

Moc użyteczną na wale turbiny obliczono ze wzoru:

$$N_u = \frac{N_{el}}{\eta_g \cdot \eta_p};$$

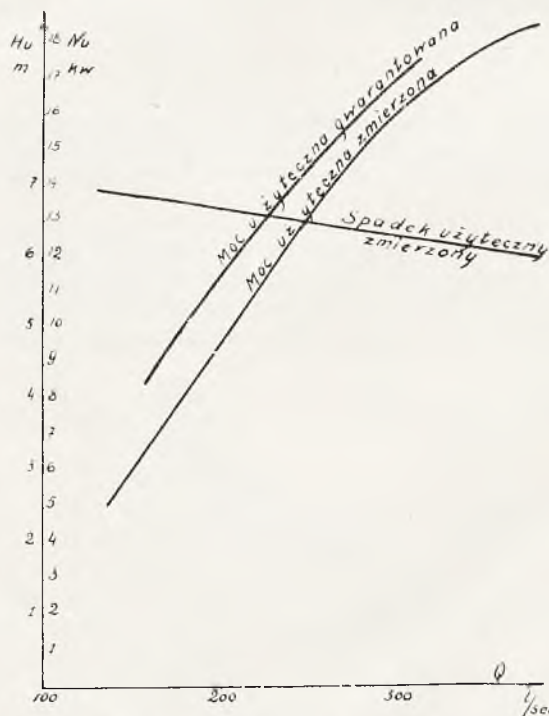
$N_{el}$  — moc na zaciskach generatora mierzona dwoma watomierzami,

$\eta_g$  — sprawność generatora z wykresu gwarancyjnego,

$\eta_p = 0,94$  (łącznie z przynależnym łożyskiem oraz mocą zużytą na napęd regulatora) — założono.

Wyniki pomiarów i obliczeń:

	Ilość przepływu $Q \text{ l/sec}$					
	312		234		156	
	Gwarantowano	Zmierzono	Gwarantowano	Zmierzono	Gwarantowano	Zmierzono
$H_u \text{ m}$	6,75	6,25	6,75	6,55	6,75	6,8
$N_u \text{ kW}$	17,6	16,7	13,6	12,3	8,45	6,5
Przekroczenie gwarancji mocy %	5,1		9,6		23,1	



Rys 6. Krzywe charakterystyczne turbiny wodnej

Rysunek 6 przedstawia to wykreślenie.

Przekroczenie gwarancji mocy o  $5,1\%$  przy przepływie  $312 \text{ l/sec}$  należy uważać za dopuszczalne, tym bardziej, że spadek uży-



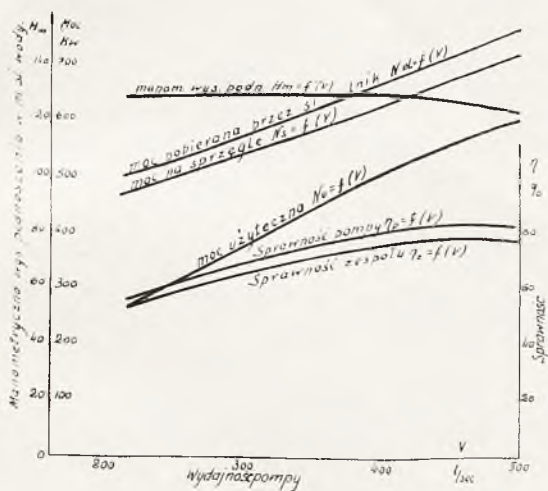
teczny był mniejszy od gwarantowanego. Przy mniejszych obciążeniach są zbyt duże przekroczenia gwarancji. Dostawca jednak podał w ofercie spadek użyteczny stały dla wszystkich obciążeń, a spadek ten jest w rzeczywistości zmienny w zależności od ilości przepływu wody przez turbinę. Moc użyteczna na wale turbiny została podana w tabeli wyżej bez uwzględnienia poprawki na spadek gwarantowany 6,75 m, a po przeliczeniu otrzymamy mniejsze przekroczenia gwarancji. Jeżeli więc uwzględnić omyłkę, którą co do spadku użytecznego popełnił dostawca przy zawieraniu umowy i przeliczyć zmierzone moce użyteczne na spadek gwarantowany, to tylko przy przepływie 156 l/sek jest znaczne przekroczenie gwarancji.

Wyniki otrzymane dla najważniejszych punktów pracy turbiny są dobre, a więc przekroczenie gwarancji przy małych obciążeniach można uważać za nieistotne.

Należy zaznaczyć, że turbina daje maksymalną moc podaną w gwarancjach i to jeszcze przy nie całkowicie otwartych kierownicach.

#### 4. Pomiary odbiorcze pomp.

##### 1. Jednostopniowa, dwustrugowa pomi-



Rys. 7. Charakterystyka pompy przy  $n = \text{ok. } 1480 \text{ obr/min}$ . Przy dużym wirniku.

pa o wydajności nominalnej 400 l/sek i manom. wysokości podnoszenia wody 120 m, jest napędzana silnikiem trójfazowym 700 kW, 1480 obr/min. Pompa posiada urządzenie do przyłączania rurociągu próżniowego dla zalewania pompy.

Dostawca dostarczył dwa wirniki z dyfuzorami: jeden dla większych, drugi dla mniejszych wydajności pompy.

Dostawca zagwarantował liczby podane w tabeli.

Podciśnienie na obu rurociągach ssących mierzono U-rurkami, wypełnionymi rtęcią; nadeśnienie — manometrem kontrolnym.

Ilość obrotów obliczono z pomiaru częstotliwości prądu wirnika (w polu magn. prądu wirnika umieszczono cewkę z rdzeniem że-

##### Wyszczególnienie.

		W y d a j n o ś ć		
		400 l/sek	481 l/sek	305 l/sek
Manometr. wysok. podnoszenia	m	120	112	92
Obroty pompy	obr/min	1480	1480	1480
Sprawność pompy	%	82,5	81,0	81,0
Tolerancja dla sprawności pompy	%	1,3	4,0	1,4
Tolerancja dla wydajności pompy przy gwarantow. manom. wys. podnosz.	%	± 5,0	± 7,5	—
Max. wysok. ssania przy 15°C	m	4,5	4,5	—

laznym, którą połączono z czułym miliwoltomierzem).

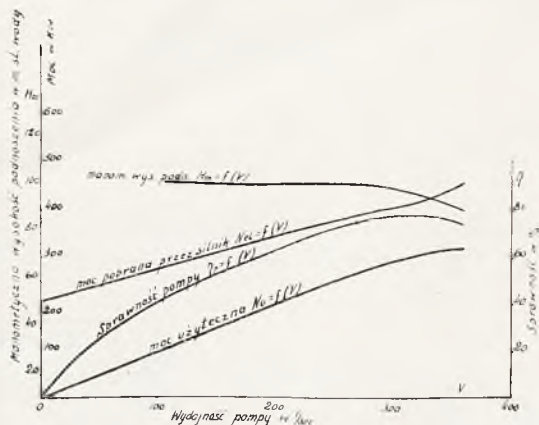
$$n = n_s (1 - s);$$

$$n_s = n_{sn} \cdot \frac{f}{50}; \quad n_{sn} — \text{ilość obr. synchroniczna}$$

przy  $f = 50 \text{ okr/sek}$ .

$$s = \frac{z}{t \cdot f} \quad z — \text{ilość okresów prądu wirnika w czasie } t.$$

$$s — \text{poślizg.}$$



Rys. 8. Charakterystyka pompy przy  $n = \text{ok. } 1500 \text{ obr/min}$ . Przy małym wirniku.

Moc użyteczna:

$$N_u = \frac{V \cdot H_{\text{man}}}{75 \cdot 1,36} \text{ kW}$$

Wielkości zmierzone korygowano, przeliczając je dla obrotów nominalnych wg. wzorów:

$$V = V_{zm} \cdot \frac{n}{n_{zm}}; \quad H = H_{zm} \left( \frac{n}{n_{zm}} \right)^2;$$

(przy  $\eta_p = \text{const.}$ ).

Rys. 7 przedstawia wykresy charakterystyczne pompy z zamontowanym dużym wirnikiem.

Rys. 8 — wykresy dla małego wirnika.

W wypadku pracy większego wirnika

max. sprawność pompy wynosi  $\eta_p = 0,84$  przy  $V = 480 \text{ l/sek}$ .

Przy zamontowaniu mniejszego wirnika —  $\eta_p = 0,78$  przy  $V = 320 \text{ l/sek}$ ; w ten sposób, mając różne zapotrzebowania wody np. latem i zimą można pracować zawsze przy dobrym wyzyskaniu urządzenia.

2. Rys. 9 i 10 przedstawiają krzywe charakterystyczne dla innej pompy, przy której można było regulować ilość obrotów.

Pompa jednostopniowa posiadająca jeden rurociąg ssący, sprzężona jest bezpośrednio z silnikiem  $550 \text{ kW}$ ;  $n = 985 \text{ obr/min}$ ; silnik z regulacją obrotów o 20% w dół.

Dostawca zagwarantował:



Rys. 9. Charakterystyka pompy przy  $n \approx 980 \text{ obr/min}$ .

a) pompa

Manometryczna wysokość podnoszenia  $m$

Obroty pompy  $\text{obr./min}$

Sprawność pompy  $\%$

Tolerancja dla spraw. pompy  $\%$

Max. wysokość ssania  $m$

Wydajność	200 l/sek		380 l/sek	
	135	101	5	985
	73,0	73,0	1,0	1,0
	6,0	6,0		

b) silnik

Moc stała  $550 \text{ kW}$ .

Sprawność silnika:

przy  $3/4$  obciążeniu nom.  $94,0\%$   $\cos \varphi = 0,88$

„  $3/4$  „ „  $93,5\%$   $\cos \varphi = 0,86$

„  $2/4$  „ „  $92,5\%$   $\cos \varphi = 0,80$

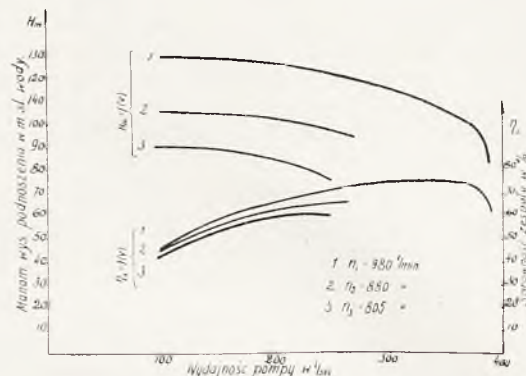
Jak widać z rys. 9, sprawność pompy przy wydajności  $200 \text{ l/sek}$  jest zgodna z gwarancją, a przy wydajności  $380 \text{ l/sek}$  wyższa o  $5,3\%$ .

Rys. 10 przedstawia wykresy charakterystyczne pompy przy różnych obrotach.

## 5. Pomiary wentylatorów kopalnianych.

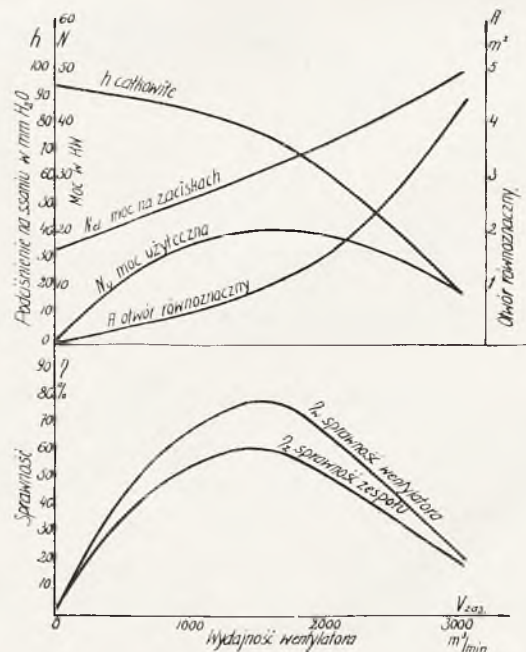
1. Na jednej z kopalń zainstalowany jest wentylator typu bliźniaczego z dwoma wirnikami zasysającymi powietrze z szybu i wtłaczającymi je przez wspólny dyfuzor (przekrój  $5,1 \text{ m}^2$ ) na zewnątrz. Średnica wirników  $\varnothing 2720 \text{ mm}$ . Napęd wentylatora pasowy silnikiem  $75 \text{ KM}$ ,  $575 \text{ obr/min}$ .

Krzywe charakterystyczne z pomiaru wentylatora podane są na rys. 11.



Rys. 10. Charakterystyka pompy przy różnych obrotach.

2. Rys. 12 przedstawia charakterystykę z pomiaru wentylatora śrubowego instalacji do ogrzewania szybu. Wentylator zasysa powietrze z otoczenia i tłoczy je przez grzejnik z rur stalowych, przez które przepływa para; ogrzane powietrze prowadzone jest rurociągiem  $\varnothing 1055 \text{ mm}$  do szybu. Przewód tłoczący obliczony jest dla wydajności 2-ch wentylatorów w związku z przewidywaną rozbudową.



Rys. 11. Krzywe charakterystyczne wentylatora.

Dostawca zagwarantował:

wydajność wentylatora

sprężenie powietrza

ilość obrotów

zużycie mocy

silnik o mocy nomin.  $7 \text{ KM}$ ,

$250 \text{ m}^3/\text{min}$ ,

ok.  $30 \text{ mmH}_2\text{O}$ ,

$1450 \text{ obr/min}$ ,

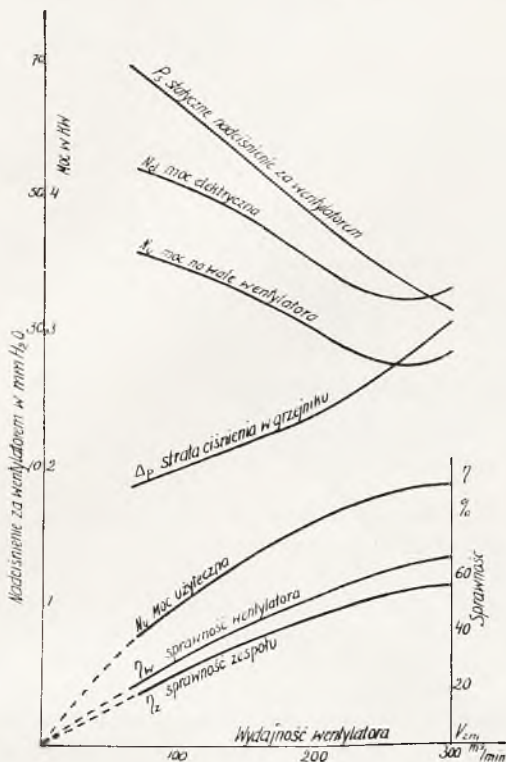
$6 \text{ KM}$ ,

$500 \text{ V}$ ,



grzejnik o:  
 przepuście powietrza 250 m<sup>3</sup>/min.,  
 temperaturze u wlotu — 30° C,  
 temperaturze u wylotu + 80° C,  
 wydajności cieplnej 520.000 kal/h,  
 przy zasilaniu parą przegrzaną 11,5 atn.

Urządzenie jest obliczone dla ogrzewania 820 m<sup>3</sup>/min zasysanego powietrza od temperatury — 30° C do + 4° C za pomocą wdmuchiwanego do szybu około 250 m<sup>3</sup>/min. powietrza ogrzanego do + 80° C. Urządzenie to zostało



Rys. 12. Krzywe charakterystyczne wentylatora śrubowego przy  $n = 1468$  obr/min. (Praca bez ogrzewania powietrza).

zainstalowane dla zabezpieczenia przedziałów szybowych, lin i klatek wyciągowych przed obmarzaniem w zimie.

## 6. Pomiary odbiorcze chłodni kominowych.

1. Chłodnia zaprojektowana została dla 1250 m<sup>3</sup>/h obciążenia hydraulicznego przy strefie chłodzenia 5° C. W zależności od obciążenia termicznego i wielkości obciążenia hydraulicznego, dostawca zagwarantował przebieg temperatury wody zimnej wg. załączonego wykresu rys. 13.

Wyniki pomiaru (średnie z pomiaru 3½ h):

Temperatura powietrza  $t = 19,6^{\circ}$  C.  
 Wilgotność względna  $\varphi = 57\%$   
 Stan barometru  $b_0 = 742$  mm Hg  
 Obciążenie hydrauliczne  $V = 455$  m<sup>3</sup>/h  
 Temperatura wody gorącej  $t_1 = 34,95^{\circ}$  C  
 Temperatura wody zimnej  $t_2 = 24,97^{\circ}$  C  
 Obciążenie termiczne  $t_1 - t_2 = 9,98^{\circ}$  C

Odpowiadająca powyższym danym gwarantowana temperatura wody zimnej (bez poprawek)  $t_3 = 28,0^{\circ}$  C

Poprawki z rys. 13:

na obciążenie hydr.  $t' = -4,2^{\circ}$  C  
 „termiczne  $t'' = +3,2^{\circ}$  C  
 razem  $-1,0^{\circ}$  C

Gwarantowana temperatura wody zimnej, po dodaniu poprawek  $t_4 = 27,0^{\circ}$  C.

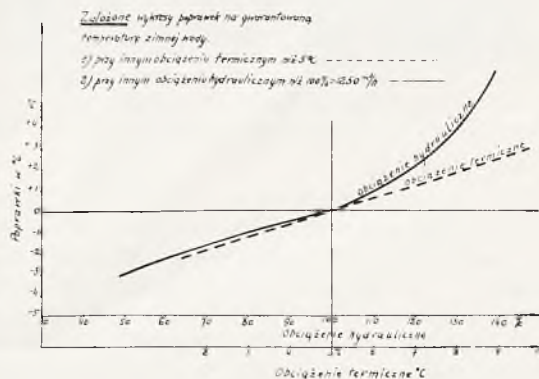
Przekroczenie gwarancji  $t_2 - t_4 = -2,03^{\circ}$  C (czyli lepiej)

Szybkość wiatru  $v = 1,9$  m/sec

Ciąg u podstawy komina  $h = 0,56$  mm H<sub>2</sub>O

Ponieważ istniejąca pompa kondensacyjna nie mogła dać więcej wody jak 460 m<sup>3</sup>/h, więc warunki pomiarowe chłodni zbyt odbiegały od warunków podanych w gwarancjach, aby można było stwierdzić, czy zostały one dotrzymane. Jednak, posilując się podanym przez dostawcę wykresem poprawek, można w przybliżeniu obliczyć wielkości gwarantowane.

2. W innym wypadku mierzono chłodnię kominową, która została zbudowana na istniejącym fundamencie. Chłodnię zbudowa-



Rys. 13. Poprawka na gwarantowaną temperaturę zimnej wody.

no dla wydajności 1500 m<sup>3</sup>/h oraz strefy chłodzenia 10° C.

Temperatura powietrza w czasie pomiaru wynosiła 22,7° C, wilgotność 52%. Obciążenie hydrauliczne chłodni wynosiło w czasie pomiaru 1500 m<sup>3</sup>/h, strefa chłodzenia 8,9° C.

Gwarantowana temperatura wody ochłodzonej została przekroczona aż o 6,4° C. Ponieważ tolerancja pomiarowa wynosiła 1,0° C, a więc efektywne przekroczenie gwarancji wynosiło 5,4° C.

Późniejsze badania chłodni, po dokonanych pewnych przeróbkach przez dostawcę, nie zmieniły już zasadniczo poprzedniego przekroczenia gwarancji, które uważać należy za wyjątkowo duże.

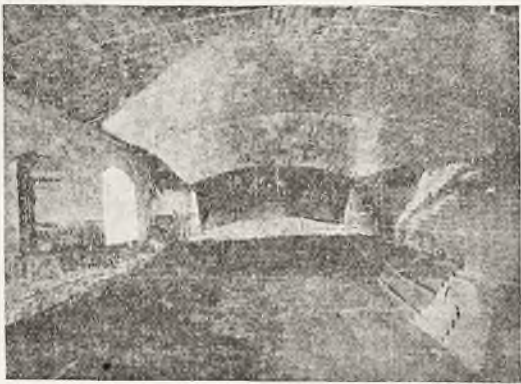
Co się tyczy gwarancji, których należy żądać od dostawcy przy zamawianiu chłodni, to zostały one szczegółowo opisane w sprawozdaniu naszym z roku 1935 r. Wytlumaczenie zaś zjawisk fizycznych zachodzących w chłodni podaliśmy w sprawozdaniu z r. 1934.

(d. c. n.).

KRONIKA TECHNICZNA.

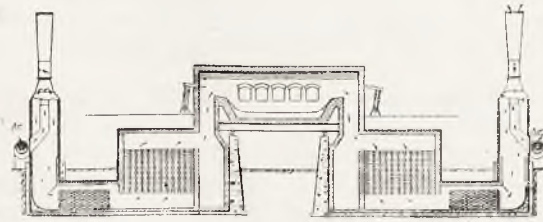
I. Rozwój procesu martenowskiego w Stanach Zjednoczonych<sup>1)</sup>.

Koszt budowy pieca 150-tonowego wynosi z wyposażeniem 800.000 \$, to też zmierza się do tego, by bieg jałowy, a z nim nieprodukcyjne koszty stałe, ograniczyć do minimum. W hali buduje się piece w odległości ich środków 30 — 35 m. Obudowę pieca daje się bardzo silną z belek walcowanych i płyt stalowych 150×380 mm. Ściany tylne buduje się z reguły pochyle. Okna bez łuków, z chłodzonych wodą ram sta-



Rys. 1. Wnętrze pieca martenowskiego z głowicą na gaz generatorowy z trzonem z materiału „K.N” i specjalną konstrukcją sklepienia.

lowych dały doskonałe wyniki w pracy. Sklepienia są wysokie do 1.8 m ponad poziom okien, a grubość cegły sklepienia wynosi 380 — 450 mm z miejscowymi zgrubieniami o 75 — 100 mm. Niekiedy sklepienie grubości 380 mm jest zgrubione na szerokości 1,5—1,8 m wzdłuż ścian. Dzięki zaniechaniu kierowaniu się w konstrukcji sklepień zasadą przysgiatania spalin do kąpieli i pod-



Rys. 2. Bezzaworowy piec z dodatkowymi regeneratormi, opalany ropą.

niesieniu sklepień wzrosła trwałość sklepień z cegły krzemionkowej z 100 — 150 wytopów na 300 do 350. Głowice najczęściej typu ‘Venturi stosuje się w piecach, opalanych gazami. Głowice są chłodzone wodą, wybudowane cegłą chromitową lub krzemianem magniezowo-żelazowym. Wyjątkowo dobre wyniki dało zastosowanie cegły „K. N”, wytwarzanej z drobno mielonej rudy chromowej związanej specjalną masą. Trzon pieca 150-tonowego ma zazwyczaj 4,8 — 5,1 m szerokości i 13,6 — 15,2 m długości. Trzon spoczywa na misie z płyt stalowych 12 — 25 mm, opartych na gęsto ułożonych belkach na betonowym fundamencie. Trzon wyposaża się często w skrzynki chłodnicze. Dół pieca izoluje się warstwą 65 — 125 mm betonu lub cegły

izolacyjnej. Materiały na trzon, wykazują następujące ciężary na m<sup>3</sup>: Natopiona masa K. N.: 3,46 — 3,53 to, napieczony magnezyt: 2,7 — 2,8 to, cegła magnezytowa 2,63 — 2,7 to zaś cegła chromitowa 2,87 — 2,97 to. Dane dotyczące przewodnictwa cieplnego dna pieca dla różnych typów przedstawiają się następująco:

	Izolacja c 3	Szamota	Chromit	Magne- zyt	Masa magnez.
Przyjęta tempera- tura średn. °C	200	570	870	870	1100
Przewodność cieplna . . .	2,1	8,0	23,1	25,5	24,6

Grubość warstwy materiału w trzonie mm:

Piec A . . .	0	265	152	228	279	0,401
Piec B . . .	50	265	152	220	279	0,290
Piec C . . .	0	380	304	—	304	0,347
Piec D . . .	65	318	304	—	304	0,266
Piec E . . .	0	508	304	—	304	0,287
Piec F . . .	pełny spód	1520	—	152	330	0,118

Przeloty pod piecem i worki żużlowe są duże. Worki żużlowe mają zazwyczaj pancierz z blach 16 mm, wymiary ich sięgają 4,9×4,9×4,9 m z każdej strony pieca. W niektórych piecach zbudowano ścieki z worków żużlowych do pomocniczych komór, z których się żużel ściąga co 30 — 40 minut. Trwałość regeneratorów zwiększyła się dzięki zastosowaniu dłuższych trzonów i izolacji pieców. Zawory zwrotne stosuje się najczęściej chłodzone wodą, dzięki czemu istnieje zawsze możność przedostania się wody do regeneratorów. Niektóre stalownie, opalające piece ropą lub wysokokalorycznym gazem zarzuciły stosowanie zaworów zwrotnych, budując piece wg. schematu na rys. 2 z niezależnymi wiatrownicami mocy ok. 100 KM. W ciągu ostatnich 7 lat wzrosło silnie zastosowanie izolacji różnych typów do otulania regeneratorów, worków żużlowych, wylotów a nawet i sklepień. Regeneratory buduje się, gdy trzeba, w wodoszczelnych jamach betonowych, osłaniając je 115 mm cegły sil-o-cel, lub 35 mm piasku kwarcowego i 50 — 75 mm żużla wielkopiecowego zziarnowanego. Sklepienia otula się dopiero po wykonaniu ok. 30 wytopów, pokrywając je warstwą 65 — 75 mm ziarnistej izolacji. Autor przytacza dane obliczonych strat cieplnych, jakich unika się, otulając różne części pieca i twierdzi, że dzięki izolacji można oszczędzić 22.000 \$ na kosztach paliwa jednego pieca 125-tonowego.

Do opalania pieców martenowskich stosuje się w Stanach Zjednoczonych smoły, ciężkie i lekkie oleje, gaz ziemny, koksowy, koksowy z dodatkiem smoły, czadnicowy i mieszanke koksowego z gazem wielkopiecowym. Zazwyczaj stalownie są przystosowane do zmiany rodzaju paliwa. Ze względu na brak siarki bardzo ceni się gaz ziemny. Ze względu na przewidywanie zmian paliwa, konstrukcja głowic idzie po drodze kompromisu i nie przystosowuje się jej do żadnego z paliw specjalnie.

<sup>1)</sup> L. F. Reinartz, The Iron & Coal Trades Review, 137 (1938) Nr. 3 693 (9. XII) str. 966/71.

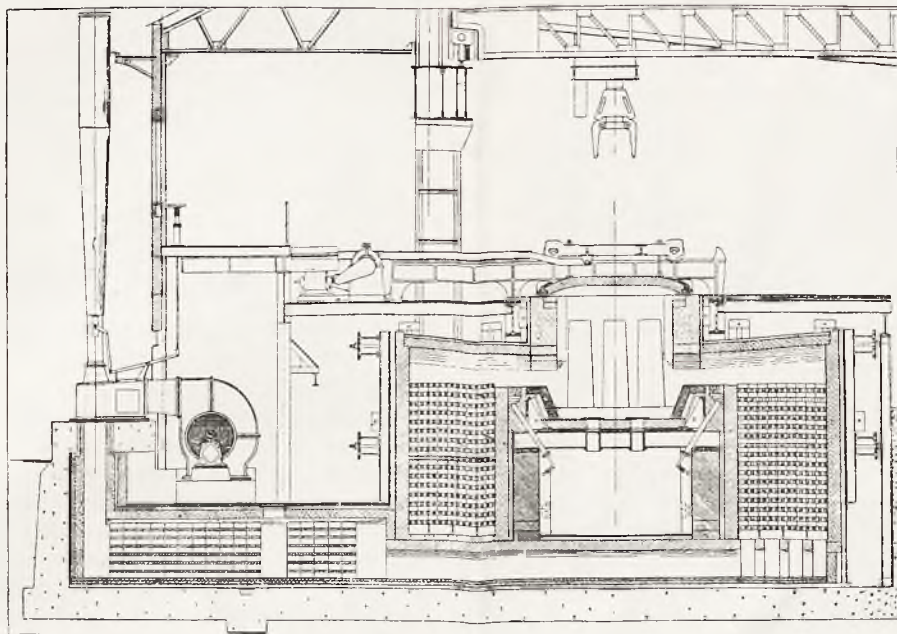
K.



## 2. Praca współczesnych walcowni amerykańskich.

Pod tym tytułem wygłosił na jesiennym zebraniu Iron & Steel Institute p. Quiney Bent<sup>1)</sup> referat, wyłączając z jego zakresu walcownie blach i taśm. Autor przywiązuje dużą wagę do zagadnienia ogrze-

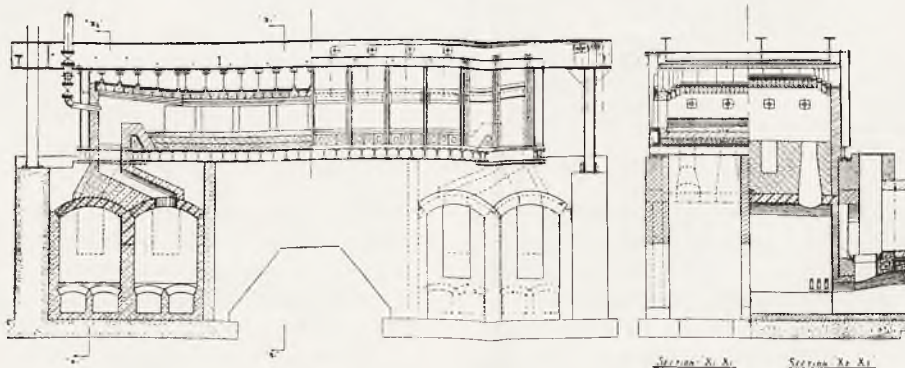
zapewnić równomierność temperatury, gdyż tylko wtedy otrzymuje się zadawalającą dokładność walcowanego przekroju na całej długości walcowania. Dobór i regulacja temperatury muszą dawać pewność osiągnięcia zarówno żądanej struktury stali, jak i dobrej plastyczności, a atmosfera pieca musi zapobiegać nie tylko two-



Rys. 1. Regeneratywny piec węglowy.

wania wsadu w walcowni i dzieli procesy grzewcze na dwie grupy; ogrzewania wstępnego i ostatecznego. Przez ogrzewanie wstępne rozumie autor nagrzewanie wlewków, zaś przez ostateczne — ogrzewanie kęsów lub wlewków bezpośrednio przed nadaniem im ostatecznego kształtu. Nazwę „jam grzewczych“

rzeniu zgorzeliny, ale i odwęglaniu powierzchni. Do opalania pieców amerykańskich stosuje się gazy: czadnicowy, wielkopiecowy lub wielkopiecowy w mieszance z kokсовым. Do wyjątkowych paliw walcowni amerykańskich należy ropa, a w stadium doświadczeń znajduje się sprawa ogrzewania elektrycznego. Ulubionym



Rys. 2 Regeneratywny piec bez ruchu wsadu.

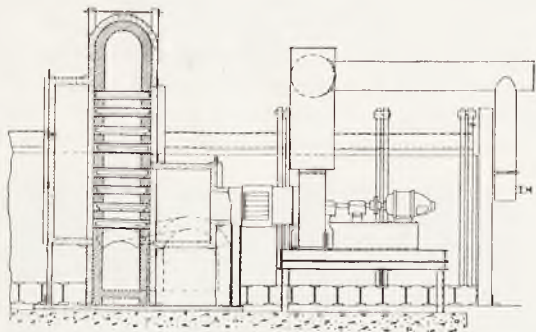
(Gjersa) uważa autor za tylko tradycyjną, ponieważ dawne jamy, zapobiegające stygnięciu wlewków po odlaniu zastąpiono piecami, których zadanie polega na wyrównaniu temperatury wnętrza i powierzchni wlewka, a szczególnie naroży wlewków prostokątnych. Zastosowanie pieców umożliwiło późniejsze ściąganie wlewnic, kiedy stal zupełnie skrzepła i zmniejszyła ilość braków, pozwalając równocześnie w znacznej mierze wykorzystywać temperaturę wnętrza wlewka. Autor stwierdza, że ogrzewanie wlewka do walcowania musi

paliwem jest mieszanka gazu wielkopiecowego z kokсовым, nastawiona na wartość opałową ok. 1200 kcal/m<sup>3</sup>. Mieszanka ta odznacza się miękkim, długim płomieniem o doskonałych własnościach przenoszenia promieniowania, a przy tym wytwarza bardzo dobrą atmosferę w piecu dając mały zgar i małe odwęglenie. O ile wstępne ogrzewanie odbywa się najczęściej w piecach węglowych, o tyle ostateczne ogrzewanie korzystniej przeprowadzać w piecach ponad poziomem huty. Zimne wlewki lub kęsy nagrzewa się w pracujących w sposób ciągły piecach przetłokowych. Jeżeli ostatecznemu nagrzaniu podlega półprodukt, przychodzący w stanie gorącym z walców wstępnych, wolą walcownie amerykańskie stosować piece, ładowane okresowo o trzo-

<sup>1)</sup> The Iron and Coal Trades Review, 137 (1938) oraz The Journal of the Iron & Steel Institute 138 (1938) Advance Copy N 3 str. 1/62

nie ogniotrwałym, nie przystosowanym do ruchu wsadu. I w tych piecach starają się walcownie o jaknajstarszą kontrolę równomierności i wysokości temperatury.

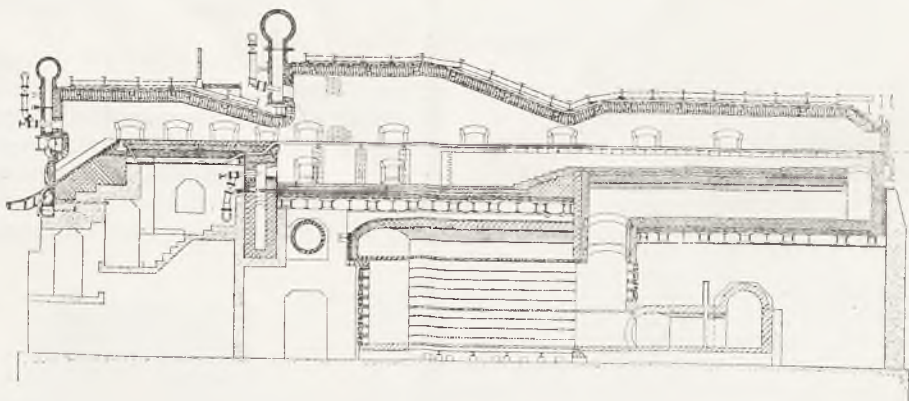
Do walcowania na zgniataczach stosują walcownie amerykańskie wlewki 560 x 630 lub 530 x 1000 mm o ciężarze przeciętnym ok. 7 ton. Piece węglębne miesz-



Rys. 3. Rekuperator karborundowy.

czą w jednej jamie 4, 6 lub 8 wlewków, a bateria składa się z 4 lub 6 pieców jakkolwiek czasem bywa więcej. Piece są albo regeneratywne zwrotne, albo rekuperatywne, a czasem i bez podgrzewania powietrza. Obecnie najwięcej jest pieców regeneratywnych, ale rozwój rekuperacji każe oczekiwać zmian, ponieważ piec o jednokierunkowej pracy jest prostszy w obsłudze. Piece rekuperatywne mają obieg spalin w postaci

nagrzane powietrze. Piece węglębne, pracujące na 1475°C a obsługiwane stałą o temp. 750°C — 950°C dostarczają ok 5 t/godz, zużywając na tonę 18000 kcal gazu o wart. opał. 1200 kcal/m<sup>3</sup>. Zimny wsad obniża wydajność do 2 — 3 t/godz a zużycie ciepła zwiększa się do 41.000 kcal/t. Gorący wlewek ogrzewa się do walcowania 2 — 3 godzin, zimny 8 — 10 godz. Bateria czterech pieców węglębnych przerabia 10 — 12 tys. ton wlewków. Zgar wynosi ok. 1½%. Piece nadziemne stosują walcownie również regeneratywne, lub rekuperatywne. Ciężkiego wsadu najczęściej nie porusza się po trzonie, natomiast lekki wsad ogrzewa w piecach przetłokowych. Piece grzewcze mają trzon 5,8 x 11,6 m i obsługują w 4 lub 6 jedną walcownię. Piece przetłokowe o trzonie 9,7 x 15,2 m gdy wsad jest lekki, a dla ciężkiego wsadu 5,2 x 25,8 m. Na walcowni pracują równolegle 2 lub 3 piece. Piece rekuperatywne mają często nagrzewnice karborundowe. Piece mają płaskie wiszące oklepienia i drzwi otwierane automatami elektrycznymi, przy czym wyposaża się je z reguły w regulację spalania i temperatury. Najnowsze piece o pracy ciągłej buduje się według zasady trójstrefowego opalania, uzyskując szybkie i równomierne nagrzanie. Zamiast dawnych rur poślizgowych w trzonie, które chłodzono wodą, zastosowano z myślą o gospodarczości ogrzewania rury ze stali ognioodpornych. Do przesuwania wsadu służą urządzenia mechaniczne. Rys. 2 przedstawia piec do ładowania periodycznego z wiszącym sklepieniem płaskim i regeneracją spalin. Rys. 3



Rys. 4. Rekuperacyjny piec trójstrefowy przetłokowy.

leżącej litery U, przy czym spaliny uchodzą pod sklepienie, zwracają w dół wzdłuż przeciwległej palnikom ściany i przechodzą nad trzonem ku czopuchowi, umieszczonemu pod palnikami. Piece bez podgrzewu powietrza buduje się ostatnio, jako okrągłe ze stycznym wlotem spalin, które wirują w piecu. Wszystkie nowoczesne piece są izolowane i uszczelnione przed zewnętrznym powietrzem, a pokrywają się podnoszone elektrycznie. Dzięki zastosowaniu wysokowartościowych materiałów ogniotrwałych naprawy doprowadzono do minimum. Piece takie najchętniej opala się paliwem o małej wartości opałowej, sterując automatycznie stosunek paliwa do powietrza i wysokość ciągu. Żużel usuwa się z trzonów od dołu wózkami, w specjalnych kanałach. Kanał taki widać na rys. 1 przedstawiającym regeneratywny piec węglębny nadający się szczególnie do pracy na słabym kalorycznie gazie. Piece rekuperatywne mają stalowe nagrzewnice z rur o 20/30 Cr, jednak mogą one narazie nagrzewać powietrze tylko do 800°C, a temperatura spalin nie może w rekuperatorze przekraczać 1150°C, to znaczy temperatury, do jakiej rekuperator z materiałów ogniotrwałych może

wyobrazić karborundowy rekuperator, nadający się do każdego pieca, dzięki wiatrownicy na gorące gazy. Na rys. 4 przedstawiono trójstrefowy piec o pracy ciągłej z rekuperatorem dostarczającym powietrze o temperaturze 400 — 520°C.

Rzecz oczywista, że nie można generalizować wydajności i danych termicznych tak różnych pieców o tak różnych typach. Autor stara się jednak podać garść informacji na kilku przykładach:

Piec bez ruchu wsadu (rys. 2.) ogrzewa zimne pręciska do walcarki  $\varnothing$  890 mm, dostarczając 13 t/godz, zużywając 800.000 kcal na tonę, przy pracy na gazie o 2400 kcal/m<sup>3</sup>. Podobny piec, grzejący 30 ton/godz. kęsów na szyny zużywa tylko 128.000 kcal/tonę gorących kęsów, zaś 640.000 kcal/t z wydajnością 6 ton/godz. gdy walcuje się kęsy zimne.

Trójstrefowy piec o pracy ciągłej ogrzewa 50 ton zimnych pręcisk na godzinę, zużywając na tonę 490.000 kcal w postaci ropy lub gazu o wartości 2.750 kcal/m<sup>3</sup>. Taki sam piec ogrzewając wlewki 305 x 305 x 1790 mm daje tylko 20 t/godz. zużywając 590.000 kcal/t. Piec przetłokowy z rurami bez chłodzenia, ogrzewający kęsy



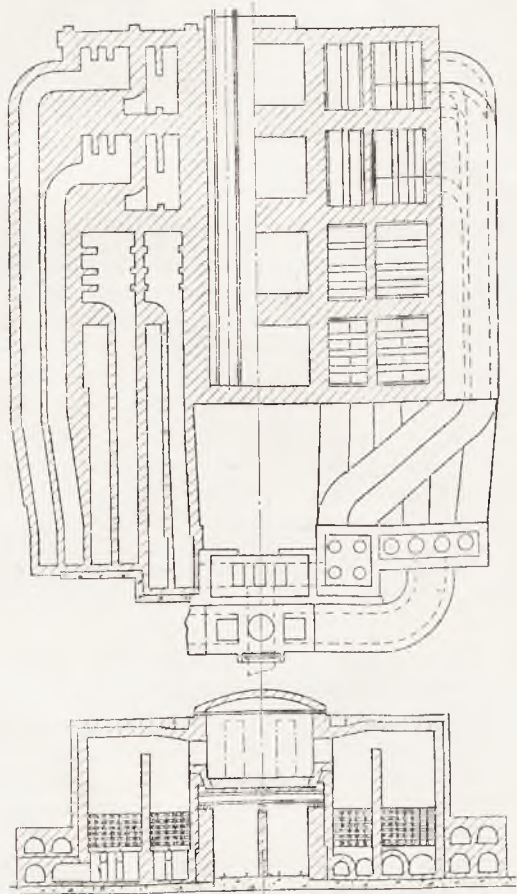
63 x 63 mm daje 20 t/godz. i zużywa tylko 450.000 kcal/t.

Zgar w piecu o nieruchomym wsadzie jest najmniejszy, chociaż i w innych niewiele przekracza  $1\frac{1}{2}\%$ . Piece z pracą ciągłą stosuje się coraz chętniej nawet do dużych wlewków i kęsów, gdyż grzeją szybko, mają dużą wydajność i zajmują mało miejsca, a przy tym nie wymagają kosztownych maszyn załadowniczych w tak dużych ilościach. Autor zaleca ogrzewanie walcowni gazem, przesyłanym na odległość z hut wielkopiecowych i koksowni. Piece wgłębne można z powodzeniem ogrzewać gazem o wartości 900 kcal/m<sup>3</sup>, a więc wielkopiecowym, piece zaś dla drobnego wsadu gazem o 3.600 kcal/m<sup>3</sup>, a więc gazem koksowym nie mieszanym.

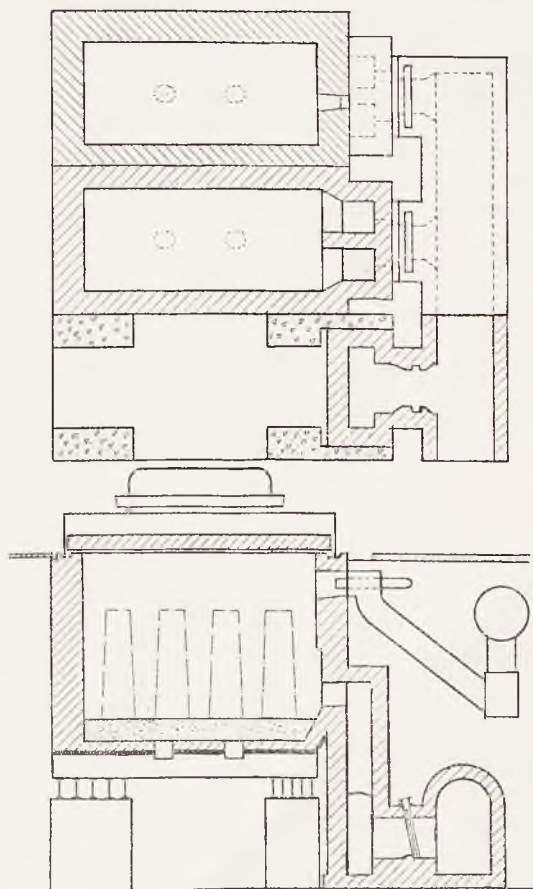
K.

### 3. Budowa i praca amerykańskich pieców wgłębnych i grzewczych<sup>1)</sup>.

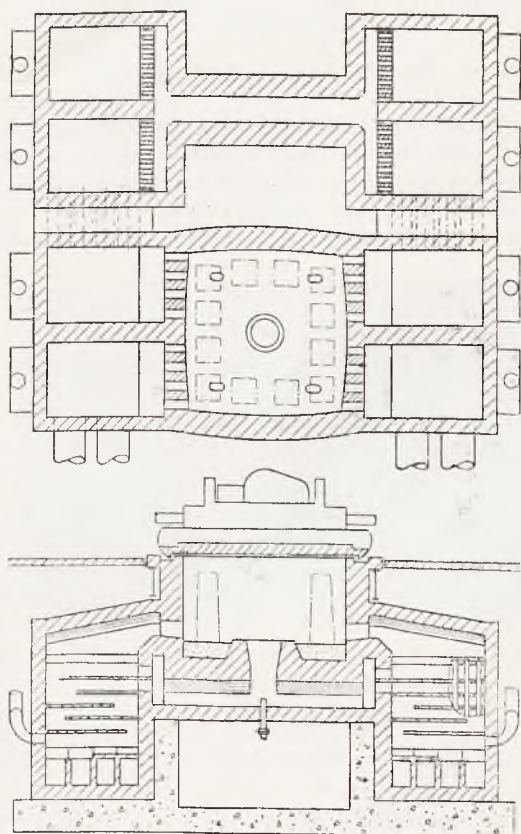
Stosowane do ogrzewania pieców walcowniczych mieszanki gazów koksowego lub ziemnego z wielkopiecowym mają wartość opałową 1020 — 2000 kcal/m<sup>3</sup>, jakkolwiek najchętniej stosuje się mieszkankę o 1245 kcal/m<sup>3</sup>. Gdy przechodzi się z gorącego wsadu na zimny, zmienia się często stosunek gazów w mieszance, zwiększając wartość opałową. Bardzo dużą uwagę zwraca się na szczelność pieców i szybkość ich załadowania i rozładowania. Szczelność osiągnięto przez pancernienie i szczelne pokrywy. Piece są wyposażone w automaty regulujące temperaturę przez dławienie



Rys. 1. Bateria regeneratywnych pieców wgłębnych.



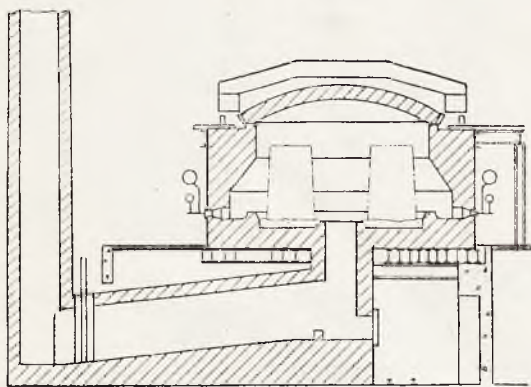
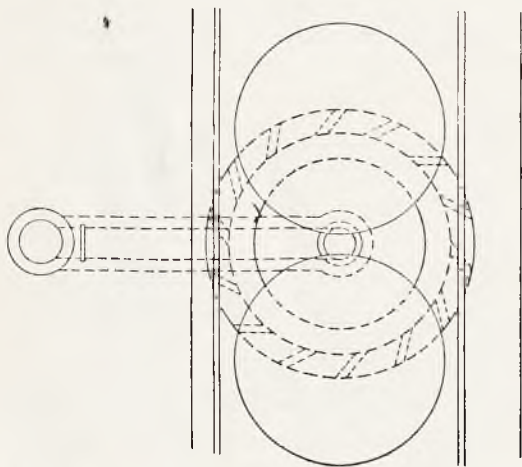
Rys. 2. Bateria rekuperatywnych pieców wgłębnych.



Rys. 3. Piec rekuperatywny, wgłębny z środkowym palnikiem w trzonie.

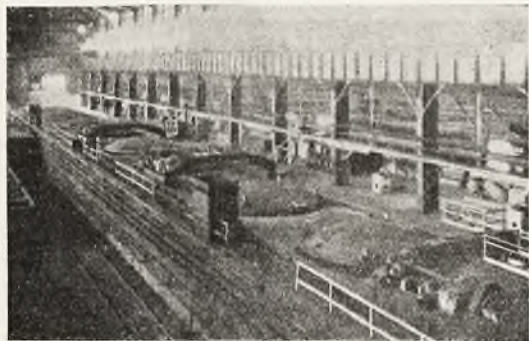
<sup>1)</sup> F. M. Gillies i E. D. Martin, *The Iron and Coal Trades Review*, 137 (1938) Nr. 3 693 (9.XII) str. 972/5.

gazu, nastawiające stosunek powietrza do paliwa, regulujące atmosferę wokół ogrzewanej stali, ustalające ciśnienie paliwa i stosunek składników mieszanki palnej, szybkość spalania i automaty do zmiany kierunku przepływu w piecach regeneratywnych.



Rys. 4. Okrągły piec ze stycznymi palnikami.

Za najważniejsze piece walcowni uważają automaty piece wgłębne. 14 amerykańskich dużych zakładów rozporządza 848 piecami, przez które przechodzi 62% wytwórczości Stanów Zjednoczonych. Z pośród tych pieców jest 90,3% regeneratywnych; 6,2% rekuperatywnych,



Rys. 5. Widok na baterię pieców wgłębnych z suwnicami do zdejmowania pokryw.

2,1% rekuperatywnych z dolnym ogrzewaniem, a 1,4 okrągłych ze stycznymi obiegiem spalin. Przeciętne zużycie ciepła dla stali walcowanej w zgniataczach wynosi 315.000 kcal/t. Na 31 baterii pieców wgłębnych 10 pracuje na gazie kokсовym, 6 na czadnicowym, 5 na mieszance kokso- wielkopiecowej, 2 na wielkopiecowym, 2 na ropie, 4 na mieszance

ziemno-wielkopiecowej i po jednej na gaz ziemny i na mieszankę czadnicowo - koksową. 116 pieców jest sterowanych „całkowicie” samoczynnie, 21 ma samoczynną regulację ciągu, 96 pieców ma automaty do zmiany pracy regeneratorów. Średnia kampania do remontu



Rys. 6. Schemat przekroju przez piec pracujący ciągle.

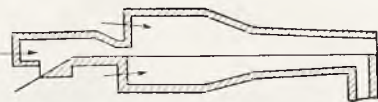
pieca trwa 27,2 miesiąca. Średni czas grzania wlewka 1 h 52'. 8,2% wlewków ładuje się zimnych.

W piecach regeneratywnych odbywa się spalanie w komorze grzewczej, jak to wynika z rysunku baterii takich pieców, podanego jako rys. 1. Zastosowanie w takich piecach czystego gazu kokсового po-



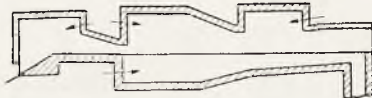
Rys. 7. Schemat przekroju przez piec o pracy ciągłej z ogrzewaniem dwustronnym wlewków.

wodowało duże trudności ze względu na zgorzelinę i stąd wzięła się popularność mieszanki z wielkopiecowym. Dla mieszanki zmieniono konstrukcję tych pieców, zwiększając i ulepszając regeneratory. W nowych instalacjach buduje się najczęściej baterie po 4 piece, jednak każdy piec ma indywidualne i osobno sterowane regeneratory i aparaty nastawcze.



Rys. 8. Schemat przekroju pieca dwustopniowego o pracy ciągłej z trzema grupami palników (oznaczonymi strzałkami).

Chcąc uniknąć nierównomierności ogrzewania, nieuniknionej w piecach o zmiennym kierunku spalin, wprowadzono piece rekuperatywne o płomieniu zwracającym w tym samym kierunku, skąd wychodzi. Przedstawiciela tej konstrukcji podaje rys. 2. Zastosowanie wlotu spalin od dołu umożliwiło zastosowanie dwudrogowego rekuperatora i krótszego płomienia, jak to



Rys. 9. Schemat przekroju pieca trójstrefowego o pracy ciągłej z czterema grupami palników (oznaczonymi strzałkami).

wynika z rys. 3. Piece tego typu ogrzewają powietrze do 870 — 980° C i zużywają do 428.500 kcal/t stali zimnej. Piec taki może dojść do b. dużych rozmiarów bez szkody dla oszczędności opalania. Pracują piece 4,6 x 4,9 m z wsadem 100 tonowym. W ciągu ostatnich 3 lat wybudowano 37 takich pieców z pełną instalacją automatyczną.

Okrągły piec, styczni opalany, jak przedstawiony na rys. 4 ma palniki pod łatem 37½ do promienia. Płomień uderza w mostek, który osłania wlewki, kierując płomień ku górze. Gazy wchodzą przez wylot w środku trzona. Opalanie styczni powoduje wirowanie spalin i mieszanie świeżych, gorących spalin z zimniejszymi. Piece te nadają się do każdego paliwa



i mogą mieć także rekuperatory. Piece, pracujące tym systemem w Ameryce mają sterowanie automatyczne i przy braku rekuperacji wykazują zdumiewająco małe zużycie paliwa. Rysunek 5 przedstawia baterię pieców węglanych z niskimi suwnicami do podnoszenia pokryw.

Do ogrzewania kęsów stosuje się piece o pracy ciągłej, ładowane z jednej strony, opróżniane z przeci-



Rys. 10. Widok pieca trójstrefowego do pracy ciągłej.

nej. Schemat takiego pieca podaje w przekroju rys. 6. Specjalny typ, umożliwiający ogrzanie wlewków od spodu z wiszącymi szynami, na których przesuwa się wlewki podaje rys. 7. W r. 1928 wprowadzono nowy typ pieca t. zw. dwustrefowy. Schemat takiego pieca przedstawiono na rys. 8. Druga strefa wygrzewa silnie kęsy, zapewniając równomierność temperatury Rys. 9. przedstawia schemat, a rys. 10 widok pieca trójstrefowego, który może przyspieszyć ogrzewanie i zapewnić większą elastyczność. Autor stwierdza, że ankietą obejmująca 30 pieców walcowni kęsów, wykazuje zużycie paliwa w granicach 376.000 — 882.000 kcal/t stali dowodzi, jak dużo jest do zrobienia na polu ogrzania wlewków i kęsów do walcowania.

#### 4. Prawa, dotyczące topienia w żeliwiakach<sup>1)</sup>.

Autor wychodzi z wzoru Buzka na wydajność żeliwiaka:

$$S = 600 \frac{W}{L \cdot K \cdot k}$$

w którym  $S$  — oznacza wydajność,  $W$  — ilości dmuchu w  $m^3/min$  (1 atm,  $0^\circ C$ ),  $L$  — ilości powietrza na 1 kg  $C$ ,  $K$  — wsad koksowy w kg/t żelaza,  $k$  — ilość  $C$  w kg/100 kg koksu. Wychodząc z stosunku  $CO$  do  $CO_2$  wytworzonego w żeliwiaku, ujmuje autor przebieg spalania wzorem na „sprawność spalania“:

$$\eta_v = \frac{CO_2}{CO_2 + CO} \cdot 100$$

Ponieważ do otrzymania tylko  $CO$  z węgla koksu trzeba 4,45  $m^3$  powietrza, a dla otrzymania  $CO_2$  trzeba powietrza 8,9  $m^3$ , wyrazi się ilość powietrza:

$$L = 4,45 \frac{100 + \eta_v}{100}$$

a równanie Buzka przyjmie postać:

$$S = \frac{60\,000 \cdot W}{K \cdot k \cdot 4,45 (100 + \eta_v)}$$

Autor stara się dociec, czy równanie w tej formie zawiera same zmienne niezależne. Gdyby nie istniała zależność fizyczna pomiędzy  $K \cdot k$  i  $\eta_v$ , wtedy dla stałej ilości dmuchu i stałej  $\eta_v$  musiałaby wydajność żeliwiaka być odwrotnie proporcjonalna do  $K \cdot k$ . Z badań różnych autorów wynika jednak, że w miarę wzrostu wsadu koksu wydajność jest większa, od wynikającej z równania. Doświadczalnie zależność pomiędzy

$$\eta_v, \text{ ilością } C \text{ na } 100 \text{ kg żeliwa } \left( \frac{K \cdot k}{100} \right) \text{ i ilości dmuchu } \left( \frac{K \cdot k}{100} \cdot 4,45 \frac{100 + \eta_v}{100} \right) \text{ wypośredkowano jak następuje:}$$

$$\frac{K \cdot k}{100} \cdot 4,45 \cdot \frac{100 + \eta_v}{100} = 5,12 \frac{K \cdot k}{100} + 17,2,$$

skąd:

$$\eta_v = \frac{386,5}{K \cdot k} + 15$$

Równanie wydajności nie zależy od średnicy pieca, natomiast wywiera na nie wpływ wielkości kawałków koksu. Z maleniem kawałków koksu maleje też i  $\eta_v$ . Czas przechodzenia wsadu przez piec zależy od  $\eta_v$  w myśl wzoru:

$$t = \frac{1}{10} \cdot \frac{K \cdot k \cdot 4,45 (100 + \eta_v) t_v \cdot t_k \cdot V}{W (100 \cdot t_k + K \cdot t_v)}$$

gdzie  $t$  — oznacza czas przechodzenia w minutach  $k$  — ciężar właściwy pozorny (nasypanego) koksu w  $t/m^3$ ,  $t_v$  — ciężar właściwy pozorny (nasypanego) wsadu metalowego w  $t/m^3$ ,  $V$  — objętość żeliwiaka powyżej koksu początkowego w  $m^3$ . Przyjmując stałe  $W$ , zaś różne  $K$ , otrzymamy równanie:

$$\frac{i_2}{i_1} = \frac{(100 + \eta_{v2}) \cdot K_2 \cdot (100 \cdot t_k + K_1 \cdot t_v)}{(100 + \eta_{v1}) \cdot K_1 \cdot (100 \cdot t_k + K_2 \cdot t_v)}$$

Z równania tego wynika, że zdwojenie zużycia koksu zwiększy czas przebywania w piecu tylko o 30%, a fakt ten ma techniczne uzasadnienie w zmniejszeniu  $\eta_v$  a więc w zwiększeniu w czasie ilości zgazowanego koksu. Wpływ  $\eta_v$  odzwierciedla się doskonale w porównaniu dwu wzorów o różnym przestrzennym ciężarze właściwym wsadu metalowego:

$$\frac{i_2}{i_1} = \frac{t_{v2} (100 \cdot t_k + K_1 \cdot t_v)}{t_{v1} (100 \cdot t_k + K_2 \cdot t_v)}$$

Gdy metal składa się z drobnych kawałków, produkcja w czasie maleje w znacznie większym stopniu, jak wzrost ciężaru przestrzennego, ponieważ wyrównawczy czynnik  $\eta_v$  nie dochodzi do głosu.

Omawiając proces spalania w żeliwiaku wyraża autor na podstawie swoich i cudzych badań przekonanie, że przed dyszami opala się koks na  $CO_2$  który redukuje się powyżej dysz na  $CO$ . Za dodatkowy dowód tej tezy przyjmuje autor podnoszenie się temperatury żeliwa zarówno wskutek zwiększenia wsadu koksu, jak i ilości dmuchu. W ostatnim wypadku  $\eta_v$  rośnie, natomiast w pierwszym pomimo malenia  $\eta_v$ , temperatura wzrasta wbrew teorii bezpośredniego spalania. Gdyby założenie zupełnego spalania na  $CO_2$  przed dyszami było słuszne, wtedy ilość spalonego koksu byłaby dla stałej ilości powietrza stałą w jednostce czasu:

$$C_{dmuch/godz} = \frac{60 \cdot W}{8,9}$$

<sup>1)</sup> H. Jungbluth, Die Giesserei (26) 1939 Nr. 5 str. 113/120.

Na godzinę spali się węgla:

$$C/h = \frac{K \cdot k}{10} \cdot S$$

Stosunek wytwórczości byłby wtedy zależny od ilości spalonego przed dyszami węgla:

$$\frac{S_1}{S_2} = \frac{C_{2dmuch}/100 \text{ kg żel}}{C_{1dmuch}/100 \text{ kg żel}}$$

Stąd dalej wynika:

$$S = \frac{117,2 \cdot W}{K \cdot k + 336}$$

$$K \cdot k = \frac{10 \cdot C/h}{S}$$

$$S = \frac{117,2 \cdot W}{\frac{10 \cdot C/h}{S} + 336}$$

$$S = 0,35 W - 0,03 C/h.$$

Jak z tego wynika, wysokość strefy żaru w żeliwiaku zależy nie od ilości koksu, lecz od ilości dmuchu.

Ilość koksu użytego do redukcji  $CO_2$  wyraża się różnicą pomiędzy  $C/h$  i  $C_{dmuch}/godz.$

W miarę wzrostu ilości dmuchu wzrasta wysokość słupa rozżarzonego koksu i dlatego żeliwo uzyskuje, przechodząc tę warstwę wyższą temperaturę. Gdy rośnie ilość koksu przy stałym dmuchu, maleje szybkość opadania oraz ilość żelaza przechodzącego przez takiej samej wysokości słup żaru i żeliwo również nabiera wyższej temperatury. Autor zajmuje się sprawnością cieplną żeliwiaka, pod którą rozumie procent ciepła, przeniesiony na żeliwo ( $\eta_k$ ). W miarę wzrostu wsadu kokсового  $\eta_k$  stale maleje. Dla stałej ilości koksu, zależy  $\eta_k$  bardzo nieznacznie od ilości dmuchu. Od tej ostatniej zależy jednak silnie wytwórczość żeliwiaka, to też odlewnie nie mogące rozlać w krótkim czasie dużej ilości żeliwa muszą pracować z gorszą wydajnością cieplną. Zarówno  $\eta_k$ , jak i  $\eta_v$  zależą od  $K \cdot k$ , z czego wynika, że są one zależne od siebie. Dla  $\eta_v$  w granicach 40 — 80 podaje autor równanie:

$$\eta_k = 0,755 \cdot \eta_v - 7$$

Dla innych wartości równanie to nie obowiązuje, jak wynika z podstawienia zera za  $\eta_k$ , daje jednak i w skrajnych wypadkach błąd niewielki.

## PRZEGLĄD KSIĄŻEK.

*Harold E. Temple.* Ogrzewanie przez promieniowanie w szpitalach zapomocą płaszczyzn grzejnych, osadzonych w konstrukcji budowlanej. Tłom. pol. Warszawa, 1939. Str. 22. Nakł. Księg. Techn. Przegl. Techn. (Invisible embedded Panel Warming System for Hospitals).

Broszura pod powyższym tytułem jest tłumaczeniem sprawozdania, opracowanego przez rzeczoznawcę inż. H. E. Temple, z badań, przeprowadzonych w 42 szpitalach w Anglii i Szkocji, mających urządzenia

ogrzewania przez promieniowanie. Badania te były przeprowadzone z polecenia Centr. Biura Inf. Szpitalnictwa Brytyjskiego w Londynie, jako przedstawiciela użytkowników i z polecenia Bryt. Związku Wykonawców Ogrzewania przez Promieniowanie, jako wytwórców. Sprawozdanie jest krytycznym i bardzo pouczającym streszczeniem odpowiedzi na 24 pytania kwestionariusza, rozesłanego do 44 szpitali.

F. B.

TREŚĆ: *T. Maryański.* Sprawozdanie Oddziału Cieplnego Stow. Dozoru Kotłów w Katowicach za rok 1938. — KRONIKA. *K.* Rozwój procesu martenowskiego w St. Zjedn. A. P. — *K.* Praca współczesnych walcowni amerykańskich. — *K.* Budowa i praca amerykańskich pieców węglanych i grzewczych. — *K.* Prawa dotyczące topienia w żeliwiaku.

SOMMAIRE: *T. Maryański.* Compte Rendue pour l'année 1938 du Departament Thermique de la Société de Surveillance des chaudières à Vapeur de Katowice. — CHRONIQUE. *K.* Le procédé Martin dans l'Amerique du Nord. — *K.* La marche des lamineries americaines. — *K.* La construction et la marche des fours siderurgiques en Amerique du Nord. — *K.* Les lois concernantes la fusion du metal dans les fours de fonderies.

CONTENTS: *T. Maryański.* Annual report for the year 1938 of the Thermal Departament of the Boiler Insepction Society in Katowice. — REVIEW. *K.* Recent developments of the Martin Process in U. S. A. — *K.* American rolling mills and their working metodes. — *K.* The design and working metodes of siderurgical furnaces in U. S. A. — *K.* Metal melting in foundry furnaces.

INHALT: *T. Maryański.* Jahresbericht 1938 der Wärmetechnischen Abteilung des Dampfkessel-Ueberwachungsvereines in Katowice. — UMSCHAU *K.* Entwicklung des Martin Processes in Nord-Amerika. — *K.* Der Betrieb zeitgemässer Walzwerke in Nord-Amerika. — *K.* Der Bau und Betrieb von hüttenmännischen Oefen in Nord-Amerika. — *K.* Die Regeln für die Metallschmelzung in Giessereiöfen.



Kotły syst. „**WIESNER**”

Budowane przez **ZAKŁADY OSTROWIECKIE**

Dzięki swej doskonałej i nowoczesnej konstrukcji zapewniają

**Wysoką sprawność**

**Elastyczność na zmiany obciążenia**

**Tanią produkcję pary**

**Niezawodność i bezpieczeństwo ruchu**

Wyniki pomiarów w instalacjach kotłowych „WIESNERA”

**Elektrownia T R N A W A — 90,35 %**

„ **BRATISŁAWA — 91, — %**

„ **BATA w ZLINIE — 90,4 %**

Na życzenie udzielamy wszelkich informacji

**ZAKŁADY OSTROWIECKIE**

Warszawa, Pl. Napoleona 9

Telefon 559-80.

**CHŁODNIE WIEŻOWE  
I TĘŻNIE DO WODY**

**WENTYLACJA HAL  
FABRYCZNYCH**

wywietrznikami dachowymi  
syst. CHANARD'a (Pat. R. P.)  
bez kosztów napędu i obsługi.

**Bracia SŁUGCY, inżynierowie**  
Warszawa, Królewska 27, tel. 242-38 i 242-69.

**KOMINÓW FABRYCZNYCH**

budowę i wszelkie remonty

**OBMUROWYWANIE KOTŁÓW**

parowych

wykonuje egzystująca od 1898 r.  
odznaczona 17 medalami firma:

**J. ZABOKRZECKI i S-ka**

Warszawa, Czackiego 19 tel. 613-57

STAŁY wieloletni, wykwalifikowany personel.

**JAN TURALSKI**

**PRZEDSIĘBIORSTWO BUDOWY KOMINÓW FA-  
BRYCZNYCH I OBMUROWAŃ KOTŁÓW PAROWYCH**

WARSZAWA-PRAGA, ul. Konopacka 10  
Telefon 10-26-53.

**BUDOWA i nadbudowa oraz obciążanie komin-  
ów fabrycznych podczas ruchu  
fabryki.**

**BUDOWA pieców przemysłowych wszelkich  
systemów.**

**OBMUROWANIE kotłów parowych oraz przebudowa  
i naprawa.**

**EKSPERTYZY, KOSZTORYSY, PROJEKTY, SZKICE**  
37-letnie doświadczenie.

550 obiektów wykonanych.



ROK ZAŁOŻENIA 1920.

**Inż. J. Drzewiecki**

**BUDOWA I DOSTAWA  
URZĄDZEŃ CHŁODNICZYCH**

Kraków, ul. Reformacka 3, tel. 107-60.

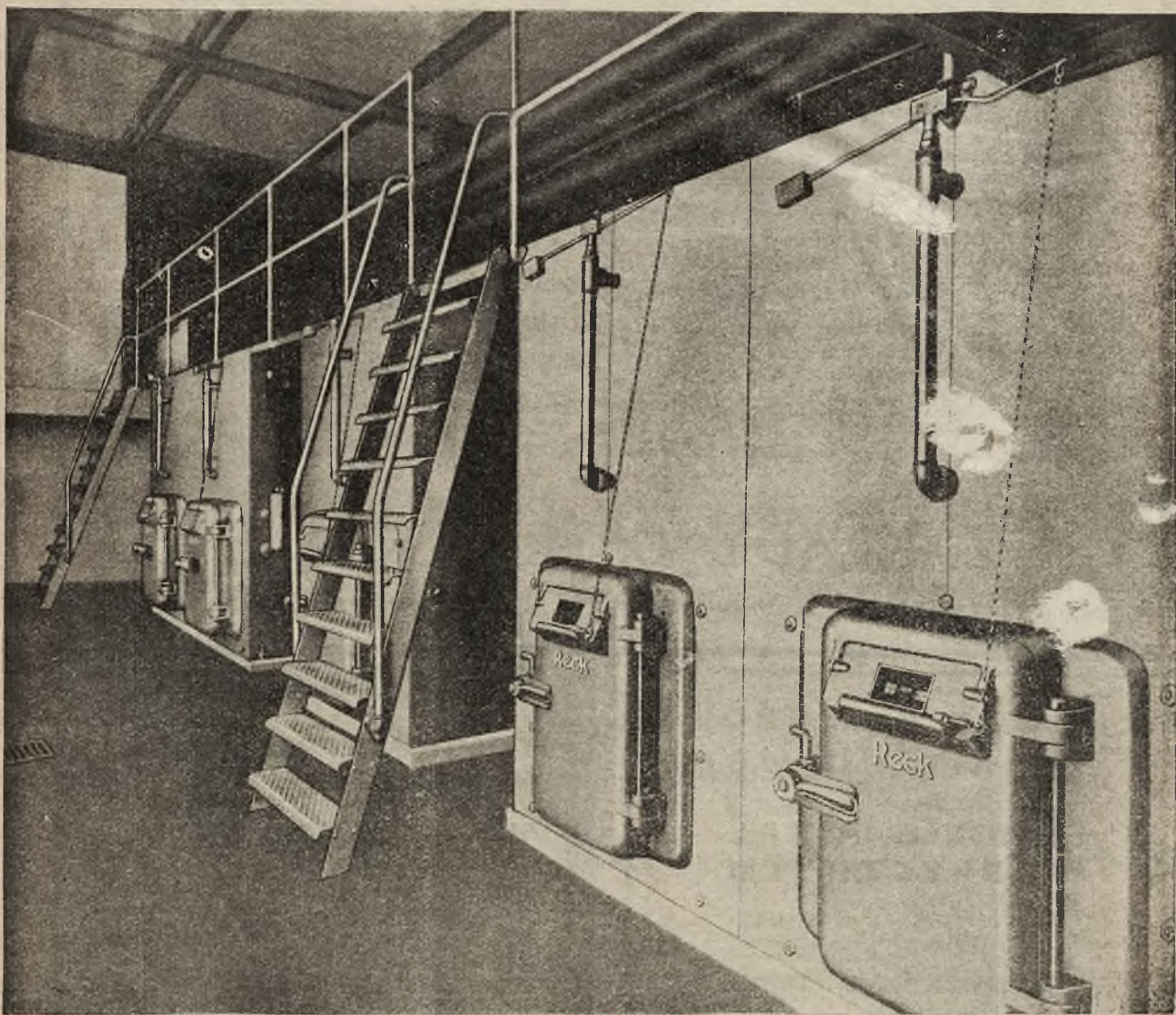


**KOMPLETNE  
BUDOWY I PRZEBUDOWY  
CHŁODNI KOMINOWYCH  
I TĘŻNICOWYCH.**



# STARACHOWICE

## WARSZAWA ̢ WARECKA 15



## KOTŁY STALOWE

do centralnego ogrzewania  
patent „Reck” od 20 do 400 m<sup>2</sup>  
powierzchni ogrzewalnej w odmianach  
przeznaczonych do opalania węglem,  
ropą, gazem, spalanie śmieci i t. p.

Wyłączna sprzedaż: „CEBEKA” Centralne Biuro Sprzedaży Kotłów Żeliwowych  
w Łodzi, ul. Piotrkowska 213, Biuro Warszawskie ul. Mo-  
niuszki Nr 5, telef. 308-27.